



รายงานผลการวิจัย

เรื่อง

ระบบการปรับเท่าภาพสี 3 มิติไม่สัมพรรถ

**NON-AFFINE 3D COLOUR-IMAGE EQUALIZATION SYSTEM**

โดย

รองศาสตราจารย์ ดร.บงกช หอมนาน

มหาวิทยาลัยธุรกิจบัณฑิตย์

รายงานการวิจัยนี้ได้รับทุนอุดหนุนจากมหาวิทยาลัยธุรกิจบัณฑิตย์

2557

ชื่อเรื่อง : ระบบการปรับเท่าภาพสี 3 มิติไม่สัมพรรค

ผู้วิจัย : รองศาสตราจารย์ ดร.บงการ หอมนาน

ปีที่พิมพ์ : 2557

แหล่งที่เก็บรายงานการวิจัยฉบับสมบูรณ์

: ศูนย์สนับสนุนและทดสอบ

คำสำคัญ : 3 มิติ ไม่สัมพรรค ปรับเท่า ภาพ สี

สถานบัน : มหาวิทยาลัยธุรกิจบัณฑิตย์

สถานที่พิมพ์ : ศูนย์วิจัย

จำนวนหน้างานวิจัย 66 หน้า

ลิขสิทธิ์ : มหาวิทยาลัยธุรกิจบัณฑิตย์

## บทคัดย่อ

การประกอบองค์ประกอบของวัตถุในภาพโดย ๆ สามารถแสดงความสมนัยต่าง ๆ ได้ งานวิจัยนี้ เกี่ยวข้องกับการพินิจวัตถุในแบบจำลองทรงกระบอกประภูมิ 3 มิติ อ้างอิงกับระบบพิกัดเอกสารพื้นที่ ซึ่ง สอดคล้องกับเงื่อนไขลิปซิทซ์และฮีลเดอร์ โดยแสดงความสมนัยหลักมูล ได้แก่ ความเยื้อง และมุนเยื้อง และสำหรับพิกัดทรงกระบอกและทรงกลม ปัจจัยพินิจในภาพนายสัมพรรคและไม่สัมพรรคสามารถ ปรากฏอย่างไรและวิเคราะห์ ผลที่ได้พบว่าองค์ประกอบสำคัญ ไวยางของชุดแผนภูมิความถี่ภาพของ องค์ประกอบวัตถุในภาพสามารถค้นคืน และความลึกจริงของแกนทรงกระบอกหมุนเทียบกับผู้พินิจ สามารถหาได้ในกรณีของภาพประภูมิ 3 มิติ ภาพฐานการอ้างอิงระบบพิกัดเอกสารพื้นที่ 4 มิติและ 5 มิติ นอกจากนี้ภาพชุดสีปฐมภูมิ XYZ จากการแปลงมาตรฐานภาพชุดสีปฐมภูมิ RGB ตัวอย่างสามารถแสดง แท่งความถี่ภาพสีสำคัญ และปัญหาการแบ่งขั้นสองเลนส์สามารถปรับปรุงด้วยจำนวนความแตกต่าง ชุดภาพของคู่ภาพช้ายาวที่นำเสนอสำหรับภาพฐาน 3 มิติ

Title : Non-Affine 3D Colour Image Equalization System

Researcher : Assoc. Prof. Dr. Bongkarn Homnan

Institution : Dhurakij Pundit University

Year of Publication : 2014

Publisher : Research Center

Sources : Library And Information Center

No. of pages : 66 pages

Keyword : 3D, Colour, Image, Equalize, Non-Affine

Copyright : Dhurakij Pundit University

## Abstract

Assembly object components in any image can give their correspondences. This research is about the inspection of the object in the cylinder 3 dimension model referenced with the homogeneous coordinate system, conformed to Lipschitz and Hölder conditions, giving fundamental correspondences of eccentricity and eccentricity angle. Based on the cylindrical and spherical coordinates, inspected perimeters in affine and non-affine projective views can be projected and analyzed. Results show that active principal components of the image histogram set of object components can be retrieved. In addition, the true depth of the cylinder body of the rotated/rotating object pertaining to the inspector can be determined in cases of images of 3 dimension space, 4 dimension space homogeneous coordinate referenced or 5 dimension space homogeneous coordinate referenced. Additionally, the colour image of XYZ primaries obtained from the standard transformation the example colour image of RGB primaries can illustrate principal components of the colour image histogram. In addition, the problem of binocular rivalry can be improved with the number of pixel difference of left and right images for 3 dimension based image.

## สารบัญ

	หน้า
บทคัดย่อภาษาไทย	ก
บทคัดย่อภาษาอังกฤษ	ข
กิติกรรมประกาศ	ค
สารบัญ	(1)
สารบัญตาราง	(2)
สารบัญรูปภาพ	(3)
<b>บทที่ 1 บทนำ</b>	
ความเป็นมาและความสำคัญของปัญหา	1
วัตถุประสงค์ของการวิจัย	1
นิยามศัพท์	2
ขอบเขตของการวิจัย	7
ประโยชน์ที่คาดว่าจะได้รับ	8
<b>บทที่ 2 การปรับเท่าและแผนภูมิแท่งความถี่ภาพ</b>	9
การปรับเท่าภาพ	9
แผนภูมิแท่งความถี่ภาพและปรภูมิ	10
แผนภูมิแท่งความถี่ภาพสี	12
การปรับเท่าภาพสี	13
ระยะและการระบุพิกัดวัตถุในภาพ	14
การจับคู่สัมพรรค	16
ความไม่ลงรอยสองเลนส์	17
<b>บทที่ 3 การประมวลผลภาพที่นำเสนอด้วยวิธีการเรียนรู้แบบตัวอย่าง</b>	19
ชนิดภาพ	19
ปัจจัยสังเกตการณ์ไม่สัมพรรค	20
องค์ประกอบสำคัญแผนภูมิแท่งความถี่ภาพ	21
การปรับเท่าภาพแบบเลือกส่วนภาพ	21
องค์ประกอบสำคัญ ไวยางแผนภูมิแท่งความถี่ภาพ	25
องค์ประกอบสำคัญแผนภูมิแท่งความถี่ภาพสี	26

## สารบัญ

### (ต่อ)

	หน้า
บทที่ 4 จำนวนความแตกต่างจุดภาพ	26
ผลการวิจัย	27
ผลเปรียบเทียบแผนภูมิแท่งความถี่ภาพสัมพรรคและไม่สัมพรรค	27
ผลเปรียบเทียบแผนภูมิแท่งความถี่ภาพสี	31
ผลเปรียบเทียบจำนวนความแตกต่างจุดภาพ 3 มิติ	34
บทที่ 5 สรุป อภิปราย และข้อเสนอแนะ	38
สรุปผลการวิจัย	38
อภิปรายผล	39
ข้อเสนอแนะ	40
บรรณานุกรม	42
ภาคผนวก	47
ก. กรณีศึกษาการปรับเท่าและแผนภูมิแท่งความถี่ภาพ	48
ข. ชุดตำแหน่งปรภูมิเลือเบก	53
ค. เส้นรอบวงของวงรี	55
ประวัติผู้วิจัย	57

### สารบัญตาราง

ตารางที่	หน้า
1.1 อักษรย่อและความหมาย	2
1.2 สัญลักษณ์และความหมาย	3
1.3 พิกัดและความหมาย	7
1.4 ระยะเวลาและแผนการดำเนินงาน	8
4.1 ระดับความเข้มแสงของแผนภูมิแท่งความถี่ภาพสีสมนัยของภาพชุด ตีป้อมภูมิ RGB และ XYZ ในภาพที่ 4.7 และ 4.8 ตามลำดับ	33

## สารบัญรูปภาพ

ภาพที่	หน้า
2.1 แผนภูมิแท่งความถี่ภาพและ $F(.)$ ของภาพต้นฉบับ $I$ [8]	11
2.2 แผนภูมิแท่งความถี่ภาพและ $F(.)$ ของภาพใหม่ $I'$ [8]	12
2.3 ตัวอย่างภาพสีต้นฉบับ $RGB$ (ซ้าย) และแผนภูมิแท่งความถี่ภาพสีของภาพสีต้นฉบับ โดยใช้ชุดสีปัจจุบัน RGB (ขวา)--- $R$ (ขวาบน) $G$ (ขวากลาง) และ $B$ (ขวาล่าง) [16]	13
2.4 ส่วนวงกลมไฮโรปเตอร์	18
3.1 แบบจำลองทรงกระบอก 3D	21
3.2 ภาคตัดขวางสำหรับแบบจำลองทรงกระบอก 3D	25
4.1 ความสัมพันธ์ระหว่างฟังก์ชันขอบเขต $\zeta$ และความเยื่อง $\epsilon$	28
4.2 ความสัมพันธ์ระหว่างฟังก์ชันขอบเขต $\zeta$ และความเยื่อง $\epsilon$ ครึ่งแกนรองวงรี $b_s$ มาตรฐาน(normalized) ของภาคตัดทรงกระบอก ความลึกจริงของระนาบพินิจ $d_p$ และมุมพินิจ $\alpha_t$	28
4.3 ความสัมพันธ์ระหว่างความลึกจริงของแกนทรงกระบอกพินิจ $D$ และมุมพินิจ $\alpha_t$ สำหรับความสูงทรงกระบอก $h$ ค่าต่าง ๆ ซึ่งสัมพันธ์กับครึ่งแกนหลักวงรี $a_s = 1$ (มาตรฐาน)	29
4.4 ความสัมพันธ์ระหว่างพื้นที่แกนทรงกระบอกพินิจ $A$ และมุมพินิจ $\alpha_t$ สำหรับความสูงทรงกระบอก $h$ ค่าต่าง ๆ ซึ่งสัมพันธ์กับครึ่งแกนหลักวงรี $a_s = 1$ (มาตรฐาน)	29
4.5 ตัวอย่างชุดแผนภูมิแท่งความถี่ภาพของแท่งความถี่ภาพสำคัญไวางานของคู่จำนวนจุดภาพจากพื้นที่ระนาบพินิจ $A_p$ และพื้นที่ตามความสูงพินิจ $A_h$ ( $h = 5a_s$ ) โดยอ้างอิงกับมุมพินิจ (หมายเหตุ พื้นที่แกนทรงกระบอกพินิจ $A$ แสดงพื้นที่ทั้งหมด และ $A$ แสดงพื้นที่ทั้งหมด และ $A$ (มาตรฐาน) กว้างสุดเท่ากับ 1)	30
4.6 ตัวอย่างชุดแผนภูมิแท่งความถี่ภาพของแท่งความถี่ภาพสำคัญไวางานของคู่จำนวนจุดภาพจากพื้นที่ไม่สัมพรัตนาระนาบพินิจ $A_{p,uf}$ และพื้นที่ไม่สัมพรัตนาระนาบความสูงพินิจ $A_{h,uf}$ ( $h = 5a_s$ ) โดยอ้างอิงกับมุมพินิจ (หมายเหตุ พื้นที่แกนทรงกระบอกพินิจ $A$ แสดงพื้นที่ทั้งหมด และ $A$ แสดงพื้นที่ทั้งหมด และ $A$ (มาตรฐาน) กว้างสุดเท่ากับ 1)	30

## สารบัญรูปภาพ

(ต่อ)

ภาพที่	หน้า
เท่ากับ 1)	31
4.7 ภาพชุดสีปั๊มน้ำมัน RGB หรือ <b>RGB</b> ประกอบด้วย <b>r g</b> และ <b>b</b> และ แผนภูมิแห่งความถี่ภาพสี สมนัย ตามลำดับ (จำนวนจุดภาพสีใน แนวตั้งของแผนภูมิแห่งความถี่ภาพสีแสดงค่าขั้นตอนจุดภาพหรือ อันดับสมาชิกระดับความเข้มแสง LILMO [11])	32
4.8 ภาพชุดสีปั๊มน้ำมัน <b>XYZ</b> ประกอบด้วย <b>x y</b> และ <b>z</b> และแผนภูมิแห่ง <sup>†</sup> ความถี่ภาพสีสมนัยตามลำดับ (จำนวนจุดภาพสีในแนวตั้งของ แผนภูมิแห่งความถี่ภาพสีแสดงค่าขั้นตอนจุดภาพหรืออันดับ สมาชิกระดับความเข้มแสง LILMO [11])	33

## บทที่ 1

### บทนำ

#### ความเป็นมาและความสำคัญของปัญหา

การปรับเท่าภาพ (image equalization) นิยมใช้เพื่อเพิ่มขึ้นความคอมชัดของภาพ โดยเฉพาะเมื่อข้อมูลที่ใช้งานได้จากภาพที่มีวัตถุประสงค์เพื่อแสดงความคอมชัด โดยการปรับเท่าภาพทำให้ความเข้มแสงสามารถกระจายได้ด้วยขั้นดังแสดงผลประกอบด้วยแผนภูมิแห่งความถี่ภาพ (image histogram) ซึ่งช่วยให้ขอบเขตความคอมชัดในบริเวณที่พิจารณาแคบลงจึงส่งผลต่อความคอมชัดสูงของภาพ การปรับเท่าฐานแผนภูมิแห่งความถี่ภาพเป็นประโภชน์สำหรับภาพที่มีพื้นหลัง (background) และพื้นหน้า (foreground) ซึ่งแสดงความสว่างหรือความมืด โดยเฉพาะอย่างยิ่งวิธีการปรับเท่าฐานแผนภูมิแห่งความถี่ที่เหมาะสมสามารถนำไปสู่คุณภาพของผลการแปลงภาพที่ดีขึ้น เช่น ผลการแปลงภาพจากภาพเอ็กซ์เรย์ (x-ray) โครงสร้างกระดูกและภาพที่ต้องการรายละเอียดของความเข้มแสง [1]

ประโภชน์ที่สำคัญของการปรับเท่าฐานแผนภูมิแห่งความถี่ภาพคือการหาผลการแปลงและการแปลงข้อนกลับ ได้ [2] ในทางคณิตศาสตร์ โดยสามารถเพิ่มอัตราเร็วสูงสุดสำหรับการประมวลผลและลดการคำนวณที่ซับซ้อนลงได้ แต่ข้อเสียของวิธีการปรับเท่าฐานแผนภูมิแห่งความถี่ภาพแบบดั้งเดิม [3] [4] ซึ่งไม่พิจารณาการแปลงข้อนกลับ นอกจากนั้นยังมีการเพิ่มความคอมชัดของพื้นหลังในขณะที่สัญญาณภาพใช้งานถูกลดระดับความคอมชัดลง การตรวจจับภาพและการดำเนินการ โดยแผนภูมิแห่งความถี่ภาพจะก่อให้เกิดองค์ประกอบของภาพเพียงเนื้องจากการเน้นและไม่เน้น ทั้งนี้ภาพทางวิทยาศาสตร์ที่แสดงความร้อนภาพถ่ายดาวเทียม หรือภาพเอ็กซ์เรย์ที่รับได้จะมีสีเพียงไปจากสีขาว โดยแผนภูมิแห่งความถี่ภาพสามารถแสดงผลที่ไม่พึงประสงค์ เช่น ระดับความเข้มแสงที่ปรากฏของภาพมีความเพียงจากการระดับความเข้มแสงลดลง ตัวอย่าง ถ้านำภาพขนาด 8 บิตแสดงด้วยชุดสีปฐมภูมิ (primaries) แดง เขียว น้ำเงิน ภาพขาวคำที่เกิดขึ้นจากการซัดสีปฐมภูมิจะแสดงแผนภูมิแห่งความถี่ภาพ [5] [6] [7] ซึ่งปกติสามารถแสดงระดับความเข้มแสงได้จำนวน  $2^8$  ระดับ

#### วัตถุประสงค์ของการวิจัย

- 1) เสนอวิธีการปรับเท่าฐานแผนภูมิแห่งความถี่แบบกำหนด (deterministic image histogram) ด้วยการวัดฟังก์ชันความหนาแน่นความน่าจะเป็นและฟังก์ชันความหนาแน่นสะสมสำหรับภาพสี 3 มิติ
- 2) เสนอวิธีการปรับเท่าฐานแผนภูมิแห่งความถี่ชนิดเพิ่มความถี่ด้วยหุ่นทางการประมวลผลและการใช้งานประภูมิ 3 มิติในสิ่งแวดล้อมเสมือนจริง โดยพิจารณาระยะมินกอฟ斯基 (Minkowski distance) สำหรับภาพสี 3 มิติ

## นิยามศัพท์

ความหมายของศัพท์ต่าง ๆ ได้แก่ อักษรย่อ สัญลักษณ์ชี้ประกอบด้วยปัจจัย พังค์ชัน และเลขชี้กำลัง และพิกัดในการจำกัดความเชิงปฏิบัติการสำหรับการวิจัยแสดงในตารางที่ 1.1 ตารางที่ 1.2 และตารางที่ 1.3 ตามลำดับ

ตารางที่ 1.1 อักษรย่อและความหมาย

อักษรย่อ	ความหมาย
2D	ปรภูมิ 2 มิติ
3D	ปรภูมิ 3 มิติ
4DH	ภาพฐานการอ้างอิงระบบพิกัดเอกพันธ์ 4 มิติ
5DH	ภาพฐานการอ้างอิงระบบพิกัดเอกพันธ์ 5 มิติ
CIE	สมาคมการส่องสว่างนานาชาติ (International Commission on Illumination)
CIE 1931	มาตรฐานการแปลงปรภูมิสี CIE ค.ศ. 1931
HSL	ชุดสีปฐมนิยม มุนสี ความอิ่มตัว และความเข้มแสง (Hue angle, Saturation, Lightness)
LIL	ระดับความเข้มแสง (Light Intensity Level)
LILMO	อันดับสมาชิกระดับความเข้มแสง (Light Intensity Level Member Order)
M <sub>n</sub> DH	ภาพฐานการอ้างอิงระบบพิกัดเอกพันธ์ $n$ มิติ
RGB	(ชุดสีปฐมนิยม) แดง เขียว และน้ำเงิน (Red, Green, Blue)
XYZ	(ชุดสีปฐมนิยม) X Y และ Z

### ตารางที่ 1.2 สัญลักษณ์และความหมาย

สัญลักษณ์	ความหมาย
$\alpha$	มุมความเอียง
$\alpha_i$	มุมพินิจ โดย $\alpha_i = \alpha$
$\beta$	ปัจจัยอัตราส่วน
$\gamma$	เลขชี้กำลังการส่องสว่าง โดย $\gamma$ เท่ากับ 2-3
$\eta$	เลขชี้กำลัง
$\theta$	มุมเงย
$\lambda$	ปัจจัยสังเกตการณ์ไม่สัมพรรค
$\mu$	ระดับความหนาแน่นสะสมในช่วง [0,1]
$\rho$	ระยะรัศมี หรือระยะยุคคลิดจากแนว Z ถึงจุด $P$
$\phi$	มุมภาคทิศ (azimuth) หรือมุมระหว่างทิศทางอ้างอิงในระบบพิกัดราและเส้นจากจุดศูนย์กำหนดถึงจุดนาย $P$ บนระบบ
$u(.)$	ฟังก์ชันไบลิปชิตซ์ (bilipchitz) เช่น ฟังก์ชันระบบ
$a - p$	สมาชิกของแมทริกซ์การจับคู่สัมพรรค
$A_0$	จุดต้นทางระยะยุคคลิด
$A_p$	พื้นที่ระบบพินิจ
$A_h$	พื้นที่ตามความสูงพินิจ
$A_U$	สัมประสิทธิ์ภาพ
$B$	ภาพสีปฐมภูมิน้ำเงิน
$b$	ภาพสีปฐมภูมิน้ำเงินมาตรฐาน (normalized)
$B_0$	จุดปลายทางระยะยุคคลิด
$bottom$	ค่ากุตกาคด้านล่างของระบบไกล์
$B_U$	ค่าคงที่ของภาพ
$c_{RMS}$	ความเปรียบต่าง (contrast) แสดงรากเฉลี่ยกำลังสอง (Root Mean Square) ของภาพที่มีความกว้างภาพ $M$ ความยาวภาพ $N$ โดย $c_{RMS} = \sqrt{\frac{1}{MN} \sum_{i=1}^N \sum_{j=1}^M (l(i,j) - \bar{l})^2}$ และ $\bar{l} = l_u + 1$
$c_v$	ความแปรปรวนร่วม โดย $c_v = \frac{1}{n_a} \sum_{t=1}^{n_a-v} (d_t - \bar{d}_v)(d_{t+v} - \bar{d}_v)$ สามารถใช้ในการประมาณอัตราสัมพันธ์ และประยุกต์ใช้ในแผนภูมิสถิติทางสัมพันธ์ซึ่งแสดงอัตราสัมพันธ์-เวลาเดือนล้าหลังเพื่อตรวจสอบความสุ่มในชุดข้อมูลซึ่ง $c_v$ จะเข้าใกล้ศูนย์กรณีที่ข้อมูลมีระดับความสุ่มสูง โดยไม่เข้มกับเวลาเดือนล้าหลัง

สัญลักษณ์	ความหมาย
$d$	ระยะทาง
$d_{a,b}$	การกระจัด (displacement) ระหว่างตำแหน่ง $a$ และ $b$
$d_L$	ระยะของจุดจดทะเบียนในภาพซ้าย $I_L$
$d_{Mink}$	ระยะมินกอว์สกี
$d_R$	ระยะของจุดจดทะเบียนในภาพขวา $I_R$
$d_t$	ข้อมูลเชิงเวลา
$E(\cdot)$	การปรับเท่าฐานแพนกูมิแห่งความถี่ของภาพต้นฉบับ $I$ ซึ่งจะได้ความสัมพันธ์ระหว่างตัวแปรต้นคือระดับความเข้มแสง $I$ และตัวแปรตามคือความถี่ $f_t$
$F(\cdot)$	ฟังก์ชันความหนาแน่นสะสมซึ่งตัวแปรต้นคือระดับความเข้มแสง $I$
$f_i$	ความถี่ของอันตรภาคชั้น $i$
$F_{min}$	ความถี่สะสมต่ำสุด
$f(\cdot)$	ฟังก์ชันความหนาแน่นความน่าจะเป็นซึ่งตัวแปรต้นคือระดับความเข้มแสง $I$ ใน กฎมิ $L^p$ โดยฟังก์ชัน $f(x = I)$ สามารถหาค่าได้ในกฎมิลูกศรสมมติ (vector) รูปแบบการเชื่อมต่อ (topology) $\mathcal{S}$
$f'(\cdot)$	ฟังก์ชันความหนาแน่นความน่าจะเป็นใหม่
$far$	ค่ากอตภาคไกลของระนาบไกล
$fan$	ระยะไกลพินจปรับเทียบแล้ว
$f_t$	ความถี่ของระดับความเข้มแสง $I$
$\ f\ _p$	ขนาดฟังก์ชันในกฎมิเลอบกฐานเลขชี้กำลัง $p$
$G$	ภาพสีปฐมนิเทศี่ยว
$g$	ภาพสีปฐมนิเทศี่ยวมาตราฐาน
$g(\cdot)$	ฟังก์ชันกำหนดระดับความเข้มแสงซึ่งตัวแปรต้นคือความส่องสว่างของพื้นที่หนึ่งหน่วยภาพ $I_U$ และมาตราส่วนวรรณะสี (tone) ในภาพเชิงเลขที่ใช้ในภาพโทรทัศน์ สามารถเขียนด้วยสมการ $L_U = A_U \left( I_U^{1/Y} + B_U \right)^Y$
$H(\cdot)$	ฟังก์ชันความหนาแน่นสะสมซึ่งตัวแปรต้นคือฟังก์ชันความหนาแน่นความน่าจะเป็น $f(\cdot)$
$\ H\ _p$	ขนาดฟังก์ชันความหนาแน่นสะสมในกฎมิเลอบกฐานเลขชี้กำลัง $p$
$I$	ภาพต้นฉบับ
$I'$	ภาพใหม่
$I^t$	ภาพแสงกระแทบ
$I_L(\cdot)$	ภาพซ้าย

สัญลักษณ์	ความหมาย
$I_R(.)$	ภาพขาว
$K$	ค่าคงที่เดิมปิชิตซ์ และ $K \in R$
$k$	ค่าคงที่
$K^n$	ค่าคงที่ขีดเคอร์
$k_l$	จำนวนอันตรภาคชั้น
$K_p(.)$	ฟังก์ชันจับคู่เชิงเส้นของสมการขีดเคอร์จาก $L^q(x)$ ไปยัง $L^p(x)$ *
$L(.)$	การแปลงเชิงเส้น
$L^p$	ปรภูมิเลอบากฐานเลขชี้กำลังปรภูมิ $p$
$L_U$	ความสว่างของภาพ
$I$	ระดับความเข้มแสง โดย $I(x, y)$ คือระดับความเข้มแสงในพิกัดкар์ทีเซียน 2D
$I'$	ระดับความเข้มแสงใหม่
$I_{max}$	ระดับความเข้มแสงอ่อนสุด
$I'_{max}$	ระดับความเข้มแสงใหม่อ่อนสุด
$I_{min}$	ระดับความเข้มแสงคล้ำสุด
$I'_{min}$	ระดับความเข้มแสงใหม่คล้ำสุด
$I_U$	ความส่องสว่าง (illuminance) ของพื้นที่หนึ่งหน่วยภาพ
$I'_X$	ระดับความเข้มแสงใหม่ของ $X$
$M$	ความกว้างภาพ
$N$	ความยาวภาพ
$n$	มิติปรภูมิ
$near$	ค่ากุตภาพใกล้ของระยะไกล
$near_i$	ระยะใกล้พินิจปรับเทียบแล้ว
$n_a$	คำดับข้อมูล
$n_d$	จำนวนความแตกต่างจุดภาพ
$n_{d,min}$	จำนวนความแตกต่างจุดภาพใกล้ต่ำสุด
$n_{d,max}$	จำนวนความแตกต่างจุดภาพใกล้สูงสุด
$n_p$	จำนวนจุดภาพซึ่งสามารถแสดงด้วยแผนภูมิแท่งความถี่ภาพที่มีจำนวนอัตราภาคชั้น $k_l$ โดย $n_p = \sum_{l=1}^{k_l} f_l$
$p$	เลขชี้กำลังปรภูมิ
$P(.)$	การจัดระดับความเข้มแสง $I$
$P'()$	การจัดระดับความเข้มแสงใหม่ $I'$

สัญลักษณ์	ความหมาย
$R$	ภาพสีปฐมภูมิแดง
$r$	ภาพสีปฐมภูมิแดงมาตราฐาน
$r_0$	รัศมีพื้นที่หน้าตัดวงกลม
$r_d$	เลขชี้กำลังผลต่างระยะ
$RGB$	ภาพสีด้านฉบับสำหรับชุดสี RGB
$RGB'$	ภาพสีใหม่
$right$	ค่ากุตภาคด้านขวาของระนาบไกล์
$R^n$	จำนวนจริงมิติประภูมิ $n$
$r_s$	รัศมีทรงกลม
$top$	ค่ากุตภาคด้านบนของระนาบไกล์
$u(.)$	ฟังก์ชันขึ้นหนึ่งหน่วย
$v$	เวลาเดือนล้าหลัง
$w$	สมาชิกเพิ่มเติมของเมทริกซ์การจับคู่สัมพรรค
$X$	ปัจจัยขาเข้าหลักโดยกำหนดตามรูปแบบ
$x$	ปัจจัยขาเข้าโดยกำหนดตามรูปแบบ
$x' - z'$	ปัจจัยขาออกเนื่องจากปัจจัยขาเข้า $x - z$ สมนัย
$x'_d$	จุดช่วงกลางแนว X
$x'_i$	จุดพินิจแนว X
$\ x\ _p$	ขนาดประภูมิเลอเบกฐานเลขชี้กำลัง $p$
$XYZ$	ภาพสีสำหรับชุดสีปฐมภูมิ XYZ
$y'_d$	จุดช่วงกลางแนว Y
$y'_i$	จุดพินิจแนว X
$z$	พิกัด $z$ ของระนาบภาพซึ่งเส้นปกติชี้ไปยัง $z = 0$

### ตารางที่ 1.3 พิกัดและความหมาย

พิกัด	ความหมาย
$(I_L, I_R)$	ค่าภาพซ้ายขวา
$(R, G, B)$	พิกัดชุดภาพชุดสีปฐมภูมิ RGB
$(x, y)$	พิกัดการ์ทีเซียน 2D
$(x, y, z)$	พิกัดชุดภาพชุดสีปฐมภูมิ XYZ
$(x, y, z, w)$	พิกัดการ์ทีเซียน 4DH
$(X_L, Y_L, Z_L)$	พิกัดกล้องถ่ายภาพซ้าย
$(X_R, Y_R, Z_R)$	พิกัดกล้องถ่ายภาพขวา

#### ขอบเขตของการวิจัย

เน้นการประยุกต์ใช้กับภาพไม่สัมพรรษและชุดสีปฐมภูมิเพื่อให้สิ่งแวดล้อมเสมือนจริงใกล้เคียงกับภาพจริงจากผลของคุณลักษณะทัศนียภาพ โดยมีเงื่อนไขตามลำดับ

##### 1. สมมติฐานการวิจัย

สัญญาณรบกวนภาพจำกัด

##### 2. ข้อจำกัดของการวิจัย

เหมาะสมกับภาพแสดงความเข้มแสง

##### 3. ข้อตกลงเบื้องต้น

ใช้ชุดสีปฐมภูมิ RGB

##### 4. ระยะเวลาและแผนการดำเนินงานทำการวิจัย

การวิจัยกำหนดระยะเวลาและแผนการดำเนินงานแสดงในตารางที่ 1.4

ตารางที่ 1.4 ระยะเวลาและแผนการดำเนินงาน

กิจกรรม	เดือน	1	2	3	4	5	6	7	8	หมายเหตุ
1) ศึกษาค้นคว้า										เริ่มวิจัย 1 มี.ค. 2557
2) เตรียมเครื่องมือฯ										
3) วัดและวิเคราะห์ข้อมูล										
4) ปรับแก้และควบคุมการทดลอง										
5) รวบรวมผล										
6) วิเคราะห์และสรุป										
7) เผยแพร่รายงาน										สิ้นสุดวิจัย 1 พ.ย. 2557

### ประโยชน์ที่คาดว่าจะได้รับ

เพิ่มสมรรถนะการปรับความเบรียบต่างและเพิ่มสมรรถนะการปรับความเข้มแสงโดยวิธีการปรับเท่าฐานแผนภูมิแห่งความถี่ภาพชนิดเพิ่มความยืดหยุ่นทางการประมวลผลและการใช้งาน 3D จากการพิจารณา  $d_{Mink}$  สำหรับภาพชุดสี 3D

## บทที่ 2

### การปรับเท่าและแผนภูมิแท่งความถี่ภาพ

บทที่ 2 การปรับเท่าและแผนภูมิแท่งความถี่ภาพ อธิบายหัวข้อต่าง ๆ ตามลำดับ ได้แก่ การปรับเท่าภาพ ปรภูมิภาพ แผนภูมิแท่งความถี่ภาพ การปรับเท่าภาพซึ่งใช้แผนภูมิแท่งความถี่ภาพบนพื้นฐานระดับความเข้มแสง แผนภูมิแท่งความถี่ภาพสีซึ่งขยายขอบเขตจากแผนภูมิแท่งความถี่ภาพโดยใช้ชุดสีปัจจุบันเดิม เจี๊ยว์ น้ำเงิน (RGB) และการระบุพิกัดวัตถุในภาพซึ่งใช้พื้นฐานจากปรภูมิภาพ

#### การปรับเท่าภาพ

การปรับเท่าภาพ (image histogram) บนพื้นฐานแผนภูมิแท่งความถี่ภาพสามารถแสดงขอบเขตความคงชัดในบริเวณที่พิจารณาเฉพาะ โดยจำกัดบริเวณที่พิจารณาให้แคบลง ได้ จึงส่งผลให้ความคงภาพสูงขึ้น สมการการปรับเท่าภาพบนพื้นฐานแผนภูมิแท่งความถี่ภาพสำหรับภาพขาวดำ [4] [8] สามารถแสดงด้วยสมการ

$$P'(I) = P(E(I)) \quad (2.1)$$

โดยที่

$f_I$	คือความถี่ของระดับความเข้มแสง $I$
$I$	คือภาพต้นฉบับ
$E(\cdot)$	คือการปรับเท่าฐานแผนภูมิแท่งความถี่ของภาพต้นฉบับ $I$ ซึ่งจะได้ความสัมพันธ์ระหว่างตัวแปรต้นคือระดับความเข้มแสง $I$ และตัวแปรตามคือความถี่ $f_I$
$P(\cdot)$	คือการจัดระดับความเข้มแสง และ
$P'(\cdot)$	คือการจัดระดับความเข้มแสงใหม่

เนื่องจากของ (2.1) คือภาพต้นฉบับ  $I$  ไม่มีการเปลี่ยนแปลงใด ๆ และหากการจัดระดับความเข้มแสง  $P(\cdot)$  เป็นการดำเนินการอตตลักษณ์ (identity) ซึ่งตัวแปรตามไม่เปลี่ยนแปลงจากตัวแปรต้นภาพผลลัพธ์จึงขึ้นกับการปรับเท่าฐานแผนภูมิแท่งความถี่  $E(\cdot)$  และสามารถด้วยสมการ

$$I' = E(I). \quad (2.2)$$

โดยที่

$I'$	คือภาพใหม่
------	------------

(2.1) และ (2.2) ส่งผลโดยรวมต่อการเปลี่ยนแปลงภาพ และโดยทั่วไปแล้วการใช้การจัดระดับสี  $P(\cdot)$  และการปรับเท่าฐานแผนภูมิแห่งความถี่  $E(\cdot)$  จะให้ผลที่ดีกว่าการใช้  $E(\cdot)$  เพียงการดำเนินการเดียวเนื่องจาก  $E(\cdot)$  ใช้เพื่อเน้นความคงซึ้งของภาพมากกว่าความคงซึ้งภาพโดยรวม และ  $E(\cdot)$  สามารถเพิ่มการดำเนินการเพื่อเน้นความคงซึ้งของภาพแบบปรับตัว ส่งผลให้  $E(\cdot)$  ได้รับการนำมาใช้ร่วมกับแบบจำลองโครงข่ายประสาทเทียมทางชีวภาพเพื่อเพิ่มความชาญฉลาดแก่ระบบ

### แผนภูมิแห่งความถี่ภาพและประภูมิ

แผนภูมิแห่งความถี่ภาพมาตรฐาน (normalized) นิยมใช้แสดงระดับคล้ำสี (shade) เนื่องจากระดับความเข้มแสง [1] และสามารถแสดงข้อมูลต่อเนื่องของภาพจากการอนุพันธ์ฟังก์ชันความหนาแน่นสะสม [5] [9] [10] โดยฟังก์ชันความหนาแน่นสะสมแสดงด้วยสมการ

$$H(f(l)) = \mu, \quad l \geq g(l_u). \quad (2.3)$$

โดยที่

$\mu$	คือระดับความหนาแน่นสะสมในช่วง $[0,1]$
$H(\cdot)$	คือฟังก์ชันความหนาแน่นสะสมซึ่งตัวแปรต้นคือฟังก์ชันความหนาแน่นความน่าจะเป็น $f(\cdot)$
$f(\cdot)$	คือฟังก์ชันความหนาแน่นความน่าจะเป็นซึ่งตัวแปรต้นคือระดับความเข้มแสง $l$ ในปรภูมิ $L^p$ --- ฟังก์ชัน $f(x = l)$ สามารถหาค่าได้ในปรภูมิลูกศรสมมติ (vector) รูปแบบการเชื่อมต่อ (topology) $\mathcal{S}$
$g(\cdot)$	คือฟังก์ชันกำหนดระดับความเข้มแสงซึ่งตัวแปรต้นคือความส่องสว่างของพื้นที่หนึ่งหน่วยภาพ $l_u$ และมาตราส่วนวาระสี (tone) ในภาพเชิงเลขที่ใช้ในภาพโทรทัศน์ สามารถอธิบายด้วยสมการ $L_U = A_U \left( l_U^{1/p} + B_U \right)^p$
$L$	คือปรภูมิเลอบงค (Lebesgue space)
$n$	คือมิติปรภูมิ
$p$	คือเลขชี้กำลังปรภูมิ

(2.3) สามารถหาบนเขตชุดของจุด (locus) สำหรับวัตถุในภาพที่ระบุระดับความเข้มแสง  $l$  ของฟังก์ชันความหนาแน่นสะสม  $H(\cdot)$  ซึ่งขนาดฟังก์ชันความหนาแน่นสะสมของฟังก์ชันระบุระดับความเข้มแสง  $l$  ในปรภูมิเลอบงคฐานเลขชี้กำลัง  $p$  หรือ  $\|H\|_p$  ด้วยสมการ

$$\|H(f(l))\|_p = \|f(l)\|_p, \quad H(f(l)) = \int_l f(l) dl \quad (2.4)$$

โดยที่

$\ f\ _p$	คือขนาดฟังก์ชันในปรภูมิเลอบงคฐานเลขชี้กำลัง $p$
-----------	---

ดังนั้นฟังก์ชันความหนาแน่นความน่าจะเป็น  $f(l)$  ของภาพต้นฉบับ  $I$  จึงสามารถแสดงจากการอนุพันธ์ฟังก์ชันต่าง ๆ ด้วยสมการ

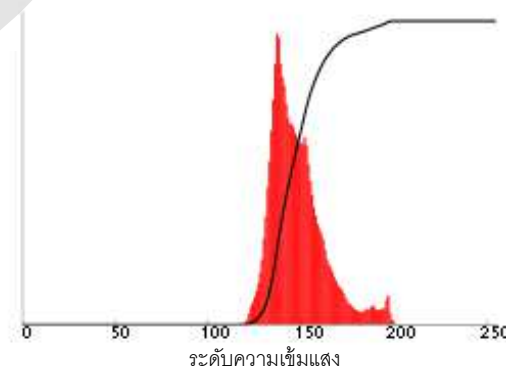
$$f(l) = \frac{dH(f(l))}{df} \cdot \frac{df(l)}{dl} = \frac{dH(f(l))}{dl} = \frac{dF(l)}{dl} \quad (2.5)$$

โดยที่

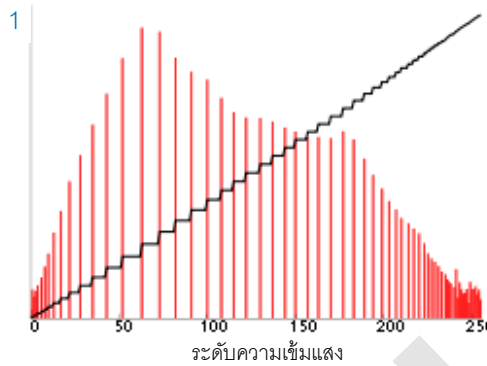
$$F(l) \quad \text{คือฟังก์ชันความหนาแน่นสะสมซึ่งตัวแปรต้นคือระดับความเข้มแสง } l$$

อ้างอิงจาก (2.1) และ (2.5) เมื่อมีปรับเท่าฐานภาพจากการจัดระดับความเข้มแสงใหม่  $P(l)$  ภาพใหม่  $P$  ที่เกิดขึ้นจึงมีผลต่อฟังก์ชันความหนาแน่นสะสม  $F(l)$  ซึ่งอธิบายด้วยกรณีศึกษาในภาคผนวก ก และอ้างอิงจาก (2.3) เนื่องด้วยพิสัยระดับความหนาแน่นสะสม  $\mu$  อยู่ในช่วง  $[0, 1]$  ดังนั้นจึงสามารถแสดงความสัมพันธ์ของภาพต้นฉบับ  $I$  และภาพใหม่  $P$  ตามวัตถุประสงค์ข้อที่ 1 เกี่ยวกับวิธีการปรับเท่าฐานแผนภูมิแห่งความถี่แบบกำหนดด้วยการวัดฟังก์ชันความหนาแน่นความน่าจะเป็นและฟังก์ชันความหนาแน่นสะสม [4] [8]

ตัวอย่างที่ ก.2 ในภาคผนวก ก แสดงการประยุกต์ (ก.5) แก่ภาพต้นฉบับ  $I$  โดยสามารถแสดงผลเปรียบเทียบแผนภูมิแห่งความถี่ภาพภาพของภาพต้นฉบับ  $I$  และแผนภูมิแห่งความถี่ภาพของภาพใหม่  $P$  ในภาพที่ 2.1 และภาพที่ 2.2 ตามลำดับ ฟังก์ชันความหนาแน่นสะสม  $F(l)$  ในภาพที่ 2.1 เพิ่มขึ้นจาก 0 จนถึง 1 อย่างรวดเร็วจากผลกระทบของความถี่แผนภูมิแห่งความถี่ภาพค่าสูงซึ่งระดับความเข้มแสง  $l$  อยู่ในช่วง  $[1, l_{max}] = [1, 256]$  โดยผ่านกระบวนการมาตรฐาน (normalized process) ทั้งนี้ ความถี่แผนภูมิแห่งความถี่ภาพของ  $I$  คือจำนวนจุดภาพที่มีระดับความเข้มแสงเท่ากับ  $l$  ในภาพ อย่างไรก็ตามฟังก์ชันความหนาแน่นสะสม  $F(l)$  ในภาพที่ 2.2 เพิ่มขึ้นตามลำดับขึ้นจากผลของการควบคุมด้วย (ก.5) ซึ่งจุดภาพของระดับความเข้มแสงใหม่  $P$  ได้รับการแยกแจงในช่วง  $[1, l_{max}] = [1, 256]$  โดยผ่านกระบวนการมาตรฐานเข่นกัน



ภาพที่ 2.1 แผนภูมิแห่งความถี่ภาพและ  $F(l)$  ของภาพต้นฉบับ  $I$  [8]



ภาพที่ 2.2 แผนภูมิแห่งความถี่ภาพและ  $F(.)$  ของภาพใหม่  $I'$  [8]

### แผนภูมิแห่งความถี่ภาพสี

องค์ประกอบสีในภาพโดยเฉลี่ยภาพสีเชิงเลข สามารถใช้แผนภูมิแห่งความถี่ของชุดสีปฐมภูมิ โดยประยุกต์จากแผนภูมิแห่งความถี่ภาพซึ่งใช้ระดับความเข้มแสง  $I$  และความถี่ของระดับความเข้มแสง  $f_I$  ดังนั้นแผนภูมิแห่งความถี่ภาพสีจึงประกอบด้วยแผนภูมิแห่งความถี่ภาพในจำนวนเท่ากับชุดสีปฐมภูมิที่กำหนด [3] [7] [11] [12] เพื่อแสดงองค์ประกอบสีชุดภาพของภาพ

แผนภูมิแห่งความถี่ภาพสีสามารถแสดง [11] ส่วนภาพสีใด ๆ ด้วยชุดสีปฐมภูมิซึ่งประกอบด้วยสีปฐมภูมิ (primary) จำนวน 3 องค์ประกอบสีได้แก่ สีปฐมภูมิแดง สีปฐมภูมิเขียว และสีปฐมภูมน้ำเงิน (Red, Green, Blue) หรือ RGB นอกจากนี้ชุดสีปฐมภูมิสามารถแสดงด้วยชุดสีปฐมภูมิอื่น เช่น ชุดสีปฐมภูมิซึ่งประกอบด้วยมุมสี ความอิมตัว และความเข้มแสง (Hue angle, Saturation, Lightness) หรือ HSL [13] หรือชุดสีปฐมภูมิซึ่งประกอบด้วย X Y และ Z หรือ XYZ เป็นต้น ดังนั้นจุดภาพในภาพจึงสามารถแสดงด้วยชุดสีปฐมภูมิสำหรับช่วงสีปรากฏ และตัวอย่างที่ ก.6 ในภาคผนวก ก อธิบายการใช้แผนภูมิแห่งความถี่ภาพสีด้วยองค์ประกอบสีปฐมภูมิในชุดสีปฐมภูมิซึ่งสัมพันธ์กับแบบແນວແສງແຍກสี (spectrum)

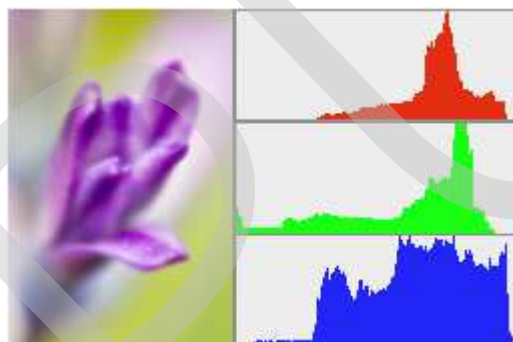
กรณีที่สีปฐมภูมิปรากฏในແນວແສງແຍກสีมีขนาดແນວແຄบ จึงจะต้องต่อการนับจำนวนจุดภาพของภาพทั้งหมด  $n_p$  และสามารถจัดแบ่งส่วนภาพในจำนวนที่เหมาะสม โดยสัมพันธ์กับระดับสีซึ่งประกอบด้วยระดับคล้ำสี (shade) และระดับอ่อนสี (tint) ขึ้นกับคุณลักษณะของภาพ ดังนั้นส่วนประกอบภาพที่จัดอยู่ในระดับสีเดียวกันจึงแสดงด้วยแท่งความถี่เดียวกันในแผนภูมิแห่งความถี่ภาพสีของสีปฐมภูมิทั้ง 3 องค์ประกอบสีซึ่งแสดงความถี่ทั้งหมดเท่ากับ  $3n_p$  และตัวอย่างการแปลงปรภูมิ (space transformation) RGB ไปยัง XYZ ตามมาตรฐานสนาพันธ์การส่องสว่างนานาชาติ (International Commission on Illumination) หรือ CIE เช่น มาตรฐานการแปลงปรภูมิสี CIE ก.ศ. 1931 หรือ CIE 1931 [14] [15] สามารถแสดงด้วยสมการ

$$\begin{bmatrix} X \\ Y \\ Z \end{bmatrix} = \begin{bmatrix} 0.4185 & -0.1587 & -0.0828 \\ -0.0912 & 0.2524 & 0.0157 \\ 0.0009 & -0.0025 & 0.1786 \end{bmatrix} \begin{bmatrix} R \\ G \\ B \end{bmatrix} \quad (2.6)$$

## การปรับเท่ภาพสี

การใช้ฟังก์ชันเพื่อเน้นความโค้งเว้าแก่แผนภูมิแห่งความถี่ภาพสี สามารถปรับเท่ภาพสีได้อย่างยืดหยุ่น แผนภูมิแห่งความถี่ภาพสีจึงนิยมใช้เป็นแผนภูมิเชิงสถิติที่สามารถแสดงและประเมินการแจกแจงจุดภาพในช่วงระดับสีที่กำหนดแก่สีปฐมภูมิดังแสดงในตัวอย่าง ก.6

โครงสร้างองค์ประกอบสีในชุดสีปฐมภูมิสามารถแสดงภาพสีได้อีกรูปแบบหนึ่งซึ่งเป็นการแสดงภาพสีด้วยพิกัด色彩ที่เขียนชุดสีปฐมภูมิ ซึ่งโดยปกติแผนภูมิแห่งความถี่ภาพสีของภาพสีต้นฉบับ **RGB** จำนวน 3 แผนภูมิแสดงผลแตกต่างกันเนื่องจากการตอบสนองต่อแสงที่แตกต่างกันของความยาวคลื่น และภาพที่ 2.3 แสดงตัวอย่างแผนภูมิแห่งความถี่ภาพสีปฐมภูมิแดง **R** ซึ่งมีแนวโน้มของแท่งความถี่คล้ายคลึงกับแผนภูมิแห่งความถี่ภาพสีปฐมภูมิเขียว **G** โดยการแจกแจงจุดภาพของแท่งความถี่ต่างจากแผนภูมิแห่งความถี่ภาพสีปฐมภูมน้ำเงิน **B** อย่างชัดเจน



ภาพที่ 2.3 ตัวอย่างภาพสีต้นฉบับ **RGB** (ซ้าย) และแผนภูมิแห่งความถี่ภาพสีของภาพสีต้นฉบับโดยใช้ชุดสีปฐมภูมิ **RGB** (ขวา)--- **R** (ขวาบน) **G** (ขวากลาง) และ **B** (ขวาล่าง) [16]

เนื่องด้วยภาพสีประกอบด้วยองค์ประกอบต่าง ๆ เช่น องค์ประกอบภาพ และองค์ประกอบสี เป็นต้น การนำเสนอกราฟวิธีเพื่อได้มาซึ่งสารสนเทศตามวัตถุประสงค์จึงเป็นประโยชน์ต่อเทคโนโลยีการประมวลผลภาพ ยกตัวอย่างเช่น การวิยุต (discretization) มีวัตถุประสงค์เพื่อเพิ่มสุ่มจุดภาพสี การแบ่งนับ (quantization) มีวัตถุประสงค์เพื่อแสดงจุดภาพสีเชิงเลข การเพิ่ม/ลดระดับความเข้มแสง [4] เพื่อศึกษาคุณลักษณะภาพหรือแสดงภาพสีใหม่ **RGB** ด้วยความคงมั่นคงตามวัตถุประสงค์ และการจัดกลุ่มระดับความเข้มแสงแบบคงตัวและแบบปรับตัววัตถุประสงค์เพื่อลดความซับซ้อนในการประมวลผลภาพอย่างไรก็ตามยังมีปัญหาการประมวลผลภาพสำหรับการปรับเท่ภาพสี เช่น การจัดกลุ่มระดับความเข้มแสงที่ไม่เหมาะสม ปราบโกหกความผิดพลาดจากภาพสีต้นฉบับ **RGB** มีโอกาส [4] แสดงผลแผนภูมิแห่งความถี่ภาพสีปฐมภูมิแดง **R** เช่นเดียวกับแผนภูมิแห่งความถี่ภาพสีปฐมภูมิเขียว **G** เป็นต้น ดังนั้นการพิจารณาสีวัตถุที่ปราบโกหกในภาพโดยคำนึงถึงรายละเอียดของข้อมูลเชิงพื้นที่ [17] [18] เช่น พิกัดพื้นผิวหรือรูปทรงวัตถุสามารถเพิ่มการพิจารณาพิเศษ [19] ของวัตถุจึงบรรเทาปัญหาการปรับเท่ภาพสีลงได้

## ระยะและการระบุพิกัดวัตถุในภาพ

การระบุพิกัดวัตถุใช้แก้ปัญหาทางวิศวกรรมในการควบคุมตำแหน่งวัตถุ โดยปัญหาสำคัญเกิดจากระบบการอ้างอิงตำแหน่งในพิกัดมาตรฐานของวัตถุ [20] [21] ยังไม่สามารถแสดงค่าได้แน่นอน และในกรณีภาพ การหมุนรอบแกนพิกัดจุดภาพสามารถระบุพิกัดวัตถุได้โดยการอ้างอิงกับพิกัดมาตรฐาน [21] ซึ่งตำแหน่งวัตถุที่แตกต่างกันมีผลต่อแผนภูมิแห่งความถี่ภาพที่แตกต่างกัน และชุดสีปฐมภูมิที่แตกต่างกันมีผลต่อแผนภูมิแห่งความถี่ภาพสีที่แตกต่างกัน

ปัจจัยสำคัญในการระบุพิกัดวัตถุในสิ่งแวดล้อมจริงและสิ่งแวดล้อมเสมือนคือระยะ หัวข้อนี้แบ่งระยะออกเป็น 2 ประเภท ได้แก่ ระยะยุคลิด (Euclidean distance) ซึ่งปกติใช้ระบุพิกัด และระยะ มินกอฟ斯基 (Minkowski distance) ซึ่งนิยมใช้ในปรภูมิสามมิติ [22] [23]

### 1. ระยะยุคลิด

ระยะกำลังสองและแผนภาพสหสัมพันธ์ (correlogram) เริ่มนิยมมาใช้ในการวิจัยความสัมพันธ์ [23] ระหว่างข้อมูลภาพเพื่อหาสีค่ากลางของวัตถุในภาพ รวมถึงระดับความเข้มแสงที่เกี่ยวข้อง ส่งผลให้สามารถแสดงสัดส่วนที่ปรากฏของสีสัน (hue) และแสงของวัตถุได้ดีขึ้น นอกจากนี้ระยะกำลังสองและแผนภาพสหสัมพันธ์ยังสามารถประมาณความชุรุของพื้นผิวและรูปทรงเรขาคณิตของวัตถุในภาพได้ดีขึ้นเช่นกัน

ระยะยุคลิด (Euclidean distance) [22] แสดงค่าระยะกำลังสอง สามารถใช้คำนวณระยะระหว่างสองจุดในภาพได้ นอกจากนี้การใช้แผนภูมิแห่งความถี่ภาพสีและระยะยุคลิด [12] สามารถคำนวณความสัมพันธ์คู่สีสำหรับคู่จุดภาพสี ดังนั้นความสัมพันธ์คู่สีทั้งหมดของจุดภาพสีจึงแสดงด้วยเมตริกซ์ ความสัมพันธ์คู่สีได้อันจากการเพิ่มสมาชิกในเมตริกซ์ความสัมพันธ์คู่สีของพื้นที่ประชิดในภาพจะให้ผลการเปรียบเทียบภาพได้ดีขึ้น และการเพิ่มขั้นตอนด้วยการกำหนดใช้ลูกศรสมมติสุ่ม (random vector) จากการวิจัยเพื่อหาสัมประสิทธิ์สหสัมพันธ์ (correlation coefficient) ของเมตริกซ์ความสัมพันธ์คู่สีจะให้ผลค่ากล่างที่ดีกว่าตัวชี้วัดที่มีการนำเสนอมาแล้ว

เพื่อแสดงขอบเขตในปรภูมิยุคลิดจึงมีการกำหนดเงื่อนไขฮีลเดอร์ (Hölder condition) [24] และเงื่อนไขลิปชิตซ์ (Lipchitz condition) [25] ตามลำดับด้วยเงื่อนไข

$$K \geq \frac{d_{u(x_1), u(x_2)}}{d_{x_1, x_2}} \geq 0. \quad (2.7)$$

โดยที่

$K$  กือค่าคงที่ลิปชิตซ์ และ  $K \in R$

$d_{a,b}$  กือการกระจัด (displacement) ระหว่างตำแหน่ง  $a$  และ  $b$

$u(.)$  กือฟังก์ชันใบลิปชิตซ์ (bilipchitz) เช่น ฟังก์ชันระยะ

$x$  ปัจจัยขาเข้าโดยกำหนดตามรูปแบบ

การกำหนดค่า  $x$  และ  $y$  ในอณาจักร  $p$  เมื่อ  $x = 1$  จะสอดคล้องกับเงื่อนไขลิปชิตช์ [25] ซึ่งอณาจักร  $p$  ถูกจำกัดด้วยพื้นที่ภายในขอบเขตที่เหมาะสม และเมื่อ  $\alpha = 0$  พังก์ชันแสดงจะอยู่ภายในขอบเขต ซึ่งสอดคล้องกับเงื่อนไขสีลเดอร์ [26]

ความต่อเนื่องลิปชิตช์ในลายเส้นในภาพ 3 มิติสามารถแสดงด้วยสมการลายเส้นในภาพ 2 มิติได้โดยมีเงื่อนไขเหมาะสม ดังนั้นการแสดงลายเส้นด้วยเส้นโค้งสามารถแสดงด้วยพิกัดตำแหน่งโดยมีเงื่อนไข

$$K^\eta \geq \frac{d_{\alpha}(x_1), u(x_2)}{d_{x_1, x_2}} \geq 0. \quad (2.8)$$

โดยที่

- |          |                     |
|----------|---------------------|
| $\eta$   | คือเลขชี้กำลัง      |
| $K^\eta$ | คือค่าคงที่สีลเดอร์ |

พังก์ชันแสดงชุดของจุดของ 2D หรือ  $x \rightarrow f(x)$  จะมีความต่อเนื่องเมื่อสามารถหาค่า  $K$  ในอณาจักร  $x$  ได้ นอกจากนี้การแสดงลายเส้นด้วยเส้นโค้งสามารถแสดงด้วยพิกัดตำแหน่งโดยมีเงื่อนไข [25]

ทั้งนี้  $f(x)$  มีคุณสมบัติสมานสัณฐาน (homeomorphism) [27] ซึ่งแสดงการแปลงต่อเนื่องเชิงการกระจัดไปกลับระหว่างภาพต้นฉบับ  $I$  ไปยังภาพใหม่  $I'$  โดยนิยมกำหนดพังก์ชันใบลิปชิตช์ของ  $I$  ด้วยคุณสมบัติสมสัณฐาน (isomorphism) ในปรภูมิเมตริกซ์

## 2. ระยะมินกอว์สกี

แผนภูมิแท่งความถี่ภาพสีดึงเดิมได้รับการพัฒนาด้วยการใช้ความลาดชัน (gradient) เรียกว่า แผนภูมิแท่งความถี่ภาพสีไม่แปรค่าเพื่อแสดงพื้นสีที่มีความใกล้เคียงและแตกต่างกัน [28] นอกจากนี้ยังมีการใช้แผนภูมิแท่งความถี่ภาพสีระบบตรรกศาสตร์วิภาคชัน (fuzzy logic) จำนวน 10 อันตรภาคชัน (bins) เพื่อปรับปรุงการประมวลผลภาพให้ละเอียดขึ้น โดยการใช้พังก์ชันสามาชิกและระยะมินกอว์สกี (Minkowski)  $d_{Mink}$  ซึ่งเป็นชุดควบคุม (superset) ของระยะยุคคลิดในการเปรียบเทียบ และ  $d_{Mink}$  ขนาด  $n$  มิติระหว่างจุด  $A_0$  และ  $B_0$  [21] [23] สามารถแสดงด้วยสมการ

$$A_0 = (a_1, a_2, \dots, a_n) \in R^n. \quad (2.9)$$

$$B_0 = (b_1, b_2, \dots, b_n) \in R^n. \quad (2.10)$$

$$d_{Mink} = (\sum_{i=1}^n |a_i - b_i|^r)^{1/r}. \quad (2.11)$$

โดยที่

- |       |  |
|-------|--|
| $p$   | คือเลขชี้กำลังปรภูมิ หรือปัจจัยมินกอว์สกี                |
| $r_d$ | คือเลขชี้กำลังผลต่างระยะ โดยปกติ $r_d = \frac{1}{p}$ และ |
| $R^n$ | คือจำนวนจริงมิติปรภูมิ $n$                               |

$d_{Mink}$  กำหนดใช้ค่า  $r_d = 1$  สำหรับระยะ曼นฮัตตัน (Manhattan) และ  $p = 2$  สำหรับระยะยุклиด ส่วน  $p$  เป็นไกล์ค่าอนันต์ใช้สำหรับระยะเชบีเชฟ (Chebyshev) และคงด้วยสมการ

$$\lim_{p \rightarrow \infty} d_{Mink} = \max_{i=1}^n |a_i - b_i| \quad (2.12)$$

$$\lim_{p \rightarrow -\infty} d_{Mink} = \min_{i=1}^n |a_i - b_i| \quad (2.13)$$

### การจับคู่สัมพรรค

โดยทั่วไปแล้วการแปลงเชิงเส้น (Linear transformation) ของปัจจัยขาเข้า  $x$  หรือ  $L(x)$  สามารถแสดงด้วยสมการ

$$L(x_1 + x_2) = L(x_1) + L(x_2) \quad (2.14)$$

การขยายภาพของวัตถุสามารถอธิบายโดยการจับคู่สัมพรรคร่วมใน 4DH [20] [29] [30] [31] และแสดงด้วยสมการ

$$\begin{bmatrix} x' \\ y' \\ z' \\ w \end{bmatrix} = \begin{bmatrix} a & b & e & j \\ c & d & f & k \\ g & h & i & l \\ m & n & o & p \end{bmatrix} \begin{bmatrix} x \\ y \\ z \\ 1 \end{bmatrix} \quad (2.15)$$

$\beta$  กือปัจจัยอัตราส่วน ปกติแล้ว  $\beta = 2$

$a - p$  กือสมาชิกของเมตริกซ์การจับคู่สัมพรรคโดย

$$\begin{aligned} a &= \frac{\beta_{near}}{right-left}, & b &= 0, & c &= 0, & d &= \frac{\beta_{near}}{top-bottom}, \\ e &= \frac{right+left}{right-left}, & f &= \frac{top+bottom}{top-bottom}, & g &= 0, & h &= 0, \\ i &= -\frac{far+near}{far-near}, & j &= 0, & k &= 0, & l &= -\beta \frac{far-near}{far-near}, \\ m &= 0, & n &= 0, & o &= -1, & \text{และ } p &= 0 \end{aligned}$$

$bottom$  กือค่ากุตภาคด้านล่างของระนาบไกล

$far$  กือค่ากุตภาคไกลของระนาบไกล

$near$  กือค่ากุตภาคไกลของระนาบไกล

$right$  กือค่ากุตภาคด้านขวาของระนาบไกล

$top$  กือค่ากุตภาคด้านบนของระนาบไกล

$w$  กือสมาชิกเพิ่มเติมของเมตริกซ์การจับคู่สัมพรรค และ

$x' - z'$  กือปัจจัยขาออกเนื่องจากปัจจัยขาเข้า  $x - z$  สมนัย

แนวแรกของ (2.15)  $a = \frac{\beta_{near}}{right-left}$ ,  $b = 0$ ,  $e = \frac{right+left}{right-left}$  และ  $j = 0$  ใช้ตัวหารเดียวกัน

คือ  $\text{right} - \text{left}$  โดย  $a$  แสดงอัตราส่วนจุด  $x$  และ  $c$  แสดงการเลื่อนจุด  $z$  ในทำนองเดียวกันแล้วที่สองของ (2.15)  $c = 0, d = \frac{\beta_{\text{near}}}{\text{top-bottom}}$ ,  $f = \frac{\text{top+bottom}}{\text{top-bottom}}$  และ  $k = 0$  ใช้ตัวหารเดียวกันคือ  $\text{top} - \text{bottom}$  โดย  $d$  แสดงอัตราส่วนจุด  $y$  และ  $f$  แสดงการเลื่อนจุด  $z$

ถ้าที่สามของ (2.15) ให้ผลการแปลงของ  $z'$  ซึ่งตั้งฉากกับระนาบ  $x' - y'$  ด้วยสมาชิก  $g = 0$ ,  $h = 0$ ,  $i = -\frac{\text{far+near}}{\text{far}-\text{near}}$  และ  $l = -\beta \frac{\text{far+near}}{\text{far}-\text{near}}$  ใช้ตัวหารเดียวกันคือ  $\text{top} - \text{near}$  นอกจากนี้ในแนวทแยงมุม เนพาะ  $t = -\frac{\text{far+near}}{\text{far}-\text{near}}$  แสดงอัตราส่วนของจุด  $z$  ของระนาบไกล ลดคล้องกับ  $e$  ซึ่งแสดงการเลื่อนจุด  $z$  และ  $f$  ซึ่งแสดงการเลื่อนจุด  $z$  และ  $l = -\beta \frac{\text{far+near}}{\text{far}-\text{near}}$  แสดงการเลื่อนจุด  $z$  โดยพจน์  $\beta_{\text{near}}$  คืออัตราส่วนร่วมของแกนในปรภูมิ 3 มิติของจุดในแบบจำลอง 4DH

นอกจากนี้แล้วที่สี่ของ (2.15)  $m = 0, n = 0, o = -1$  และ  $p = 0$  โดยในแนวทแยงมุม เนพาะ  $p$  ใช้แสดงจุดในภาพที่ได้รับการปรับค่าแล้ว ส่วน  $o$  ใช้แสดงจุด  $z$  ในภาพที่ได้รับการพลิกกลับในทิศตรงกันข้าม

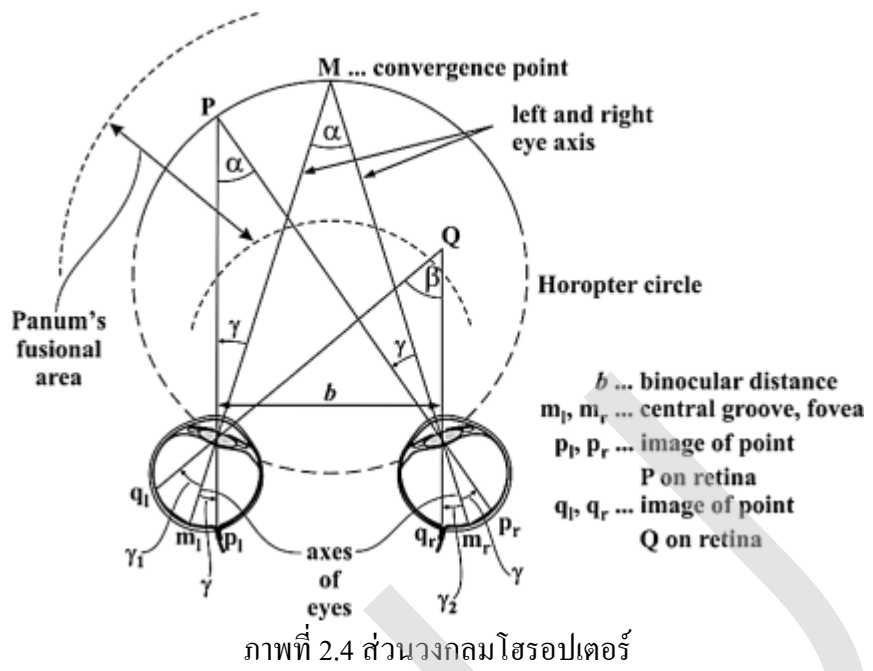
ตัวอย่าง เมื่อกำหนดค่า  $(\text{left}, \text{right}) = (1, 6)$ ,  $(\text{bottom}, \text{top}) = (1, 5.5)$  และ  $(\text{near}, \text{far}) = (1, 10.5)$  สำหรับ (2.16) แสดงผลการแปลงด้วยสมการ

$$\begin{bmatrix} x' \\ y' \\ z' \\ w \end{bmatrix} = \begin{bmatrix} 0.40 & 0.00 & 1.40 & 0.00 \\ 0.00 & 0.44 & 1.44 & 0.00 \\ 0.00 & 0.00 & -1.21 & -2.21 \\ 0.00 & 0.00 & -1.00 & 0.00 \end{bmatrix} \begin{bmatrix} x \\ y \\ z \\ 1 \end{bmatrix} \quad (2.16)$$

### ความไม่ลงรอยสองเลนส์

ความแตกต่างของภาพระหว่างภาพซ้ายและภาพขวาในระบบทัศนวิสัยใช้จำนวนของความไม่ลงรอยของภาพซ้ายและภาพขวาขึ้นอยู่กับความลึก [31] ซึ่งขึ้นอยู่กับความแตกต่างของระยะจากเลนส์ซ้ายและเลนส์ขวาไปยังพิจัดของวัตถุนั่นที่พิจารณาเรียกว่า “ความไม่ลงรอยสองเลนส์” (binocular disparity) โดยระยะจากเลนส์ซ้ายและเลนส์ขวาในระบบทัศนวิสัยสามารถอนุமานความลึกของวัตถุนั่นที่พิจารณาได้ดังนี้ตามความไม่ลงรอยสองเลนส์ซึ่งสามารถประมาณและตีความด้วยระยะจากเลนส์ซ้ายและเลนส์ขวา

ไฮโรปเตอร์ (horopter) [32] ประกอบด้วยชุดของจุดที่ไม่ปรากฏความไม่ลงรอยสองเลนส์ ดังนั้นไฮโรปเตอร์จึงแสดงด้วยชุดของจุดหรือวัตถุนั่นที่ในส่วนวงกลมอ้างอิงกับเลนส์ซ้ายและเลนส์ขวา ดังแสดงในภาพที่ 2.4 นอกจากนี้การมองภาพ 3 มิติด้วยเครื่องมองภาพ 3 มิติ (stereoscope) นิยมใช้ในการมองคู่ภาพ 3 มิติ (stereo image pairs) ซึ่งปรากฏภาพซ้าย  $I_L$  จากเลนส์ซ้ายและภาพขวา  $I_R$  จากเลนส์ขวา โดยคู่ภาพซ้ายขวา ( $I_L, I_R$ ) ยังสามารถแสดงด้วยภาพพื้น (anaglyph) จากภาพซ้ายขวา ในกรณีคู่ภาพซ้ายขวาไม่มีการกำหนดความไม่ลงรอยสองเลนส์กันเล็กน้อยให้พิจพอด้วยการแสดงภาพพื้นที่หมายความว่า



## บทที่ 3

### การประมวลผลภาพที่นำเสนอด้วยทัศนียภาพ

บทที่ 3 อธิบายชนิดภาพต่าง ๆ ซึ่งใช้ในการประมวลผลงานประภูมิ 3 มิติในสิ่งแวดล้อมเสมือนจริง (virtual environment) ด้วยทัศนียภาพแตกต่างกัน การปรับเท่าภาพแบบเลือกส่วนภาพ (image portion) สำหรับทัศนียภาพสัมพรรค (affine) ปัจจัยสังเกตการณ์ไม่สัมพรรค (non-affine) เพื่อใช้ในการปรับเท่าภาพแบบเลือกส่วนสำหรับทัศนียภาพไม่สัมพรรค นอกจากนี้ยังอธิบายองค์ประกอบสำคัญของแผนภูมิแห่งความถี่ภาพ รวมถึงองค์ประกอบสำคัญไวางานของแผนภูมิแห่งความถี่ภาพ ซึ่งทั้ง 2 กรณีใช้แผนภูมิแห่งความถี่ภาพเป็นเครื่องมือหลักในการทดสอบและทดสอบ ทั้งนี้องค์ประกอบสำคัญไวางานแผนภูมิแห่งความถี่ภาพเน้นการทดสอบการเคลื่อนที่ของวัตถุ [1] [33] ในสิ่งแวดล้อมเสมือนจริง องค์ประกอบสำคัญแผนภูมิแห่งความถี่ภาพสี (colour image histogram) ในสิ่งแวดล้อมเสมือนจริง และอธิบายจำนวนความแตกต่างจุดภาพของชนิดภาพต่าง ๆ โดยพิจารณาจะทางมินิ阁ว์สกี้  $d_{Minh}$

ชนิดภาพต่าง ๆ และแผนภูมิแห่งความถี่ภาพสมนัยต่าง ๆ ได้แก่ แผนภูมิแห่งความถี่ภาพสำหรับภาพขาวดำ แผนภูมิแห่งความถี่ภาพส่วนประกอบสำคัญ แผนภูมิแห่งความถี่ภาพส่วนประกอบสำคัญไวางานและแผนภูมิแห่งความถี่ภาพสำหรับภาพสี และจำนวนความแตกต่างจุดภาพประภูมิ 3 มิติ ซึ่งอธิบายตามลำดับในบทที่ 3 ซึ่งแสดงผลในบทที่ 4 ต่อไป

การประมวลผลภาพต่าง ๆ ในบทที่ 3 ได้แก่ การปรับเท่าภาพ การปรับเท่าภาพแบบเลือกส่วนภาพ และการปรับเท่าภาพสีพิจารณาปัจจัยที่เกี่ยวข้องดังอธิบายในบทที่ 2 ได้แก่ ระดับความเข้มแสง และชุดสีประภูมิ อย่างไรก็ตามในบทที่ 3 นำเสนอเพิ่มถึงปัจจัยสังเกตการณ์ไม่สัมพรรคและแผนภูมิแห่งความถี่ภาพส่วนประกอบสำคัญไวางาน กล่าวถึงภาพเนินต้ำและภาพเนินสูงสำหรับการทดสอบภาพ 3D ด้วยจำนวนความแตกต่างจุดภาพ

#### ชนิดภาพ

การแยกความแตกต่างโดยใช้แผนภูมิแห่งความถี่ภาพสามารถกำหนดด้วยคู่ภาพ (image pairs) ซึ่งได้รับการจัดหมวดระดับความเข้มแสง [11] [34] และระดับสี (ระดับคล้ำสีและระดับอ่อนสี) ดังต่อไปนี้

- 1) คู่ภาพระดับความเข้มแสงเดียว
- 2) คู่ภาพสองระดับความเข้มแสง
  - 2.1) คู่ภาพเนินต้ำสองระดับความเข้มแสง
  - 2.2) คู่ภาพเนินสูงสองระดับความเข้มแสง
- 3) ภาพขาวดำ

- 3.1) ภาพเนินต่ำขาวดำ
- 3.2) ภาพเนินสูงขาวดำ
- 4) ภาพสี
  - 4.1) ภาพเนินต่ำสี
  - 4.2) ภาพเนินสูงสี

### ปัจจัยสังเกตการณ์ไม่สัมพรรค

การขยายภาพวัตถุสามารถอธิบายด้วยการจับคู่สัมพรรคร่วมของภาพฐานการอ้างอิงระบบพิกัดเอก พันธ์ 4 มิติ (4DH) [29] ซึ่งโดยปกติแล้ววัตถุในภาพสามารถพินิจแบบไม่สัมพรรค [35] และความคุณโดย แกนทั้งคู่ของระบบ อายุ่ไรก็ตามสมการการจับคู่สัมพรรคร่วม (2.16) ใช้การพิจารณาพิกัดในแกน z และ (2.17) สามารถปรับเทียบเพื่อประยุกต์ในงาน 3D ดังนั้นการวัดค่าจริงไม่สัมพรรคของ แบบจำลอง ทรงกระบอก 3D จึงได้รับการพัฒนาให้อยู่ในรูปแบบมาตรฐาน โดยอ้างอิงร่วม  $z = 1$  ด้วยสมการ

$$\begin{bmatrix} a_s(z) \\ b_s(z) \end{bmatrix} = \begin{bmatrix} x'_i - x'_d & 1-z \\ y'_i - y'_d & 1-z \end{bmatrix} \begin{bmatrix} \frac{1}{zr_0} \\ \lambda \end{bmatrix}, \quad \lambda = \frac{1 - \frac{near_i}{far_i}}{far - near} \quad (3.1)$$

โดยที่

$\lambda$	คือปัจจัยสังเกตการณ์ไม่สัมพรรค
$far_i$	คือระยะไกลพินิจปรับเทียบแล้ว
$near_i$	คือระยะใกล้พินิจปรับเทียบแล้ว
$x'_d$	คือจุดช่วงกลางแนว X
$x'_i$	คือจุดพินิจแนว X
$y'_d$	คือจุดช่วงกลางแนว Y
$y'_i$	คือจุดพินิจแนว Y

ข้อได้เปรียบทอง (3.1) คือการใช้มาตราส่วนมาตรฐานแก่แบบจำลองทรงกระบอก 3D ดังนั้นจาก การทดลอง การหมุนของทรงกระบอกสำหรับแบบจำลองไม่สัมพรรคในแบบจำลองสามารถอ้างอิง รูปแบบมาตรฐานได้ โดยการควบคุมไม่สัมพรรคของ  $a_s(z)$  กำหนดด้วยมาตราส่วน  $1 - z$  ในแนว X และการควบคุมไม่สัมพรรคของ  $b_s(z)$  กำหนดด้วยมาตราส่วน  $1 - z$  ในแนว Y จึงแสดงให้เห็นว่า  $z$  สามารถบังคับมาตราส่วนแกนวัตถุทั้งสองแนวซึ่งตั้งหากกับระบบ X-Y

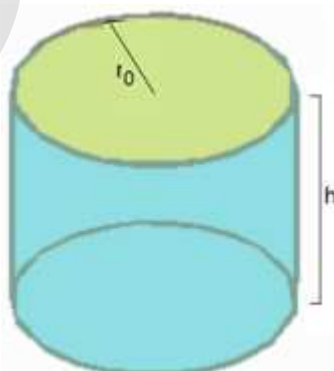
### องค์ประกอบสำคัญแผนภูมิแท่งความถี่ภาพ

โดยทั่วไปแล้วแผนภูมิแท่งความถี่ภาพสามารถแสดงองค์ประกอบแผนภูมิแท่งความถี่ภาพและองค์ประกอบภาพ โดยองค์ประกอบแผนภูมิแท่งความถี่ภาพระบุโดยระดับความเข้มแสงสมัย (corresponding light intensity level) สามารถใช้แสดงรายละเอียดภาพ

แผนภูมิแท่งความถี่ภาพยังสามารถใช้เปรียบเทียบและตรวจแก้รายละเอียดภาพ [11] [34] [36] โดยภาพระดับความเข้มแสงมืด (dark) ปรากฏขององค์ประกอบระดับความเข้มแสงต่ำ ส่วนภาพระดับความเข้มแสงข้า (bright) ปรากฏขององค์ประกอบระดับความเข้มแสงสูง ดังนั้นภาพเหลี่ยมโดยทั่วไปชี้แจงเน้นรายละเอียดในระดับคลาสิกกลางจึงปรากฏขององค์ประกอบระดับความเข้มแสงกลางโดยส่วนใหญ่ องค์ประกอบสำคัญ (principal components) ของแผนภูมิแท่งความถี่ภาพ เรียกว่า “องค์ประกอบสำคัญ แผนภูมิแท่งความถี่ภาพ” หรือ “แท่งความถี่ภาพสำคัญ” สามารถระบุรายละเอียดสำคัญในภาพ โดย [36] อธิบายความสัมพันธ์ของพื้นที่ชั้นความหนาแน่นความน่าจะเป็นและพื้นที่ชั้นความหนาแน่นสะสมของจุดภาพในแท่งความถี่ภาพสำคัญจัดเตรียม พิกัดและพื้นที่ครอบคลุมของจุดภาพที่พิจารณา ดังนั้นการแยกแยะจุดภาพหลักในภาพจึงแสดงคุณลักษณะและข้อได้เปรียบด้วยองค์ประกอบสำคัญแผนภูมิแท่งความถี่ภาพที่ความถี่สูง

### การปรับเท่าภาพแบบเลือกส่วนภาพ

การเลือกใช้แบบจำลองทรงกระบอก 3D ซึ่งประกอบด้วยพื้นที่หน้าตัดวงกลมและพื้นที่รอบกรอบดังแสดงในภาพที่ 3.1 สามารถกำหนดใช้แท่งความถี่ภาพสำคัญแก่ภาพระดับความเข้มแสงมืด สำหรับพื้นที่หน้าตัดวงกลม และกำหนดใช้แท่งความถี่ภาพสำคัญแก่ภาพระดับความเข้มแสงเจ้าสำหรับพื้นที่รอบกรอบ สถาคัลล์องก์กับสมการการจับคู่ของภาพฐานการอ้างอิงระบบพิกัดเอกพันธ์ 4 มิติ (4DH)



ภาพที่ 3.1 แบบจำลองทรงกระบอก 3D

## 1. พิกัดแบบจำลองทรงกระบอก 3D

ตัวอย่างการจัดทำเบียนภาพ (image registration) ปรากฏใน [35] โดยแสดงการฉายและการรีคิด (recognition) ของแบบจำลองรูปทรงหลายด้าน 3D [29] [37] และในบทนี้ทำการเปรียบเทียบระบบพิกัดต่าง ๆ ของแบบจำลองทรงกระบอก 3D ซึ่งประกอบด้วยจุดต่าง ๆ รอบแนวทรงกระบอกและระนาบทั้ง 2 ด้านด้วยระบบพิกัดต่อไปนี้

- ระบบพิกัดทรงกระบอก: ระบบพิกัดทรงกระบอกจัดอยู่ในระบบพิกัดซึ่งสามารถระบุพิกัดวัตถุ 3 มิติของจุด  $P$  เมื่อใช้ปัจจัยพิกัดทรงกระบอกที่สอดคล้องกับระบบพิกัดการที่เขียน  $(x, y, z)$  จึงสามารถแสดงด้วยสมการ

$$\rho = \sqrt{x^2 + y^2}, \quad \phi = \tan^{-1}\left(\frac{y}{x}\right), \quad z = z \quad (3.2)$$

โดยที่

$\rho$  กีอรัศมี หรือระยะยุกคลิดจากแนว Z ถึงจุด  $P$

$\phi$  กีอนุมภาคทิศ (azimuth) หรืออนุมระหว่างทิศทางอ้างอิงในระนาบพิจารณาและเส้นจากจุดศูนย์กำเนิดถึงจุดปลาย  $P$  บนระนาบ

- ระบบพิกัดทรงกลม: นอกจากระบบพิกัดทรงกระบอกแล้ว ระบบพิกัดทรงกลมสามารถระบุพิกัดวัตถุ 3 มิติของจุด  $P$  ได้เช่นกัน เมื่อใช้ปัจจัยพิกัดทรงกระบอกที่สอดคล้องกับระบบพิกัดทรงกระบอก  $(\rho, \phi, z)$  จึงสามารถแสดงด้วยสมการ

$$r_s = \sqrt{\rho^2 + z^2}, \quad \theta = \sin^{-1}\left(\frac{z}{r_s}\right), \quad \phi = \phi \quad (3.3)$$

โดยที่

$r_s$  กีอรัศมีทรงกลม

$\theta$  กีอนุมเมย

## 2. พื้นที่และรูปทรงเรขาคณิต

การวิเคราะห์พื้นที่และรูปทรงเรขาคณิตของแบบจำลองทรงกระบอกด้วยการระบุสิ่งตรงกัน (correspondences) ของลักษณะแบบจำลองทรงกระบอก 3D ประกอบด้วยรายละเอียดต่อไปนี้

- ภาพพยากรณ์ด้านบน: การอ้างอิงพิกัดภาพพยากรณ์ด้านบนกำหนดด้วยระบบ x-y และแนว Z สำหรับแกนทรงกระบอก ดังนั้นพิกัดของภาพพยากรณ์ด้านบนสามารถแสดงด้วยสมการ

$$x = r_0 \cos \phi, \quad y = r_0 \sin \phi \quad (3.4)$$

โดยที่

$r_0$  กีอรัศมีพื้นที่หน้าตัดวงกลม

ระนาบที่ตัดทรงกระบอก 3D แสดงด้วยพื้นที่หน้าตัดวงรีซึ่งความสัมพันธ์ระหว่างความเอียง (eccentricity)  $e$  ของภาคตัดทรงกระบอกและครึ่งแกนหลักวงรี  $a_s$  สามารถแสดงด้วยสมการ

$$\epsilon = \cos \alpha \quad (3.5)$$

โดยที่

$\alpha$  กีอุณความเยื่อง หรืออุณระหว่างระนาบตัด (secant plane) และแกนทรงกระบอก โดย  $\alpha = \sin^{-1} \left( \frac{r_0}{a_s} \right)$  ในกรณีภาพฉายค้านบน

2) พื้นที่ระนาบพินิจ: สมการวงรีมาตรฐาน (ค.1) ในภาคผนวก ค สามารถแสดงพื้นที่ระนาบพินิจ  $A_p$  ด้วยสมการ

$$\begin{aligned} A_p &= \int_{-a_s}^{a_s} 2b_s \sqrt{1 - \frac{x^2}{a_s^2}} dx, \quad y = \pm \sqrt{\frac{a_s^2 b_s^2 - b_s^2 x^2}{a_s^2}} \\ &= \frac{b_s}{a_s} \int_{-a_s}^{a_s} 2 \sqrt{a_s^2 - x^2} dx \\ &= \pi a_s b_s. \end{aligned} \quad (3.6)$$

3) พื้นที่แกนทรงกระบอกพินิจ: อ้างอิงจุด  $P$  ต่าง ๆ ที่ทำมุมภาคทิศ  $\phi$  ใน (3.2) ก่อให้เกิดพื้นที่แกนทรงกระบอก  $A$  ซึ่งประกอบด้วยพื้นที่ระนาบพินิจ  $A_p$  และพื้นที่ตามความสูงพินิจ  $A_h$  แสดงด้วยสมการ

$$A = A_p + A_h = \pi a_s b_s + 2a_s h \cos \alpha_i. \quad (3.7)$$

โดยที่

$\alpha_i$  กีอุณพินิจ โดย  $\alpha_i = \alpha$

จาก (3.7) พื้นที่แกนทรงกระบอกพินิจ  $A$  สูงสุดจะเกิดขึ้นเมื่อ  $\frac{\partial A}{\partial \alpha_i} = 0$  หรือ  $\alpha_i = \tan^{-1} \left( \frac{\pi a_s}{2h} \right)$

4) ความลึก: การรับรู้ (perception) ความลึกของระบบวิทัศน์มนุษย์ (human visual system) ระบุถึงความสามารถประมวลผลภาพและแปลความหมาย 3D [35] นอกจากนี้ความแตกต่างทางเรขาคณิตของแบบจำลองทรงกระบอก 3D ทำให้สามารถคำนวณหาความลึกจริง (true depth) ของแกนทรงกระบอก  $D$  ดังต่อไปนี้ ความลึกจริงของระนาบพินิจ  $d_p$  จากจุดใกล้สุดไปยังจุดไกลสุดของแกนทรงกระบอกอ้างอิง กับผู้พินิจโดยพิจารณาบนพื้นที่ด้วยกลุ่มจุดคงคลุมได้ดังนี้

$$d_p = 2r_0 \cos \alpha_i = 2r_0 \epsilon \quad (3.8)$$

เนื่องจาก  $\frac{\partial d_p}{\partial \epsilon} = 2r_0$  มีค่าคงที่ ดังนั้นจึงอธิบายได้ว่าการอนุพันธ์ความลึกของระนาบพินิจสอดคล้องกับเงื่อนไขไฮลด์เคอร์ (2.9) แสดงด้วยสมการ

$$\frac{\partial d_p}{\partial \alpha_i} = -2r_0 \sin \alpha_i \leq K_H \quad (3.9)$$

(3.2) และ (3.3) และ (3.4) แสดงพิกัดจุด  $P(\rho, \phi, z)$  และ  $(r, \theta, \phi)$  ของแบบจำลองทรงกระบอก 3D ในระบบพิกัดทรงกระบอกและระบบพิกัดทรงกลมตามลำดับ จึงพิจารณาเฉพาะมุมภาคทิศ  $\phi$  ช่วงบนในแนว

### เส้นสายตาอ้างอิงกับผู้พินิจ

เนื่องจากรัศมี  $r$  วัตถุเครื่อง (rigid body) หรือแกนทรงกระบอกไม่เปลี่ยนแปลง จึงสามารถระบุมุม เงยที่เกิดรอบจุดหมุนซึ่งเป็นจุดไอล์สุคหรือจุดหมุน (fulcrum) อ้างอิงกับผู้พินิจ ดังนั้นจึงสามารถใช้ภาพ ฉายด้านข้างแกนทรงกระบอกแสดงผลต่างการหมุนของการแปลงความเหมือน (similarity) [35] [38] เท่ากับมุมเงย  $\theta = \frac{\pi}{2} - \alpha$

สำหรับความลึกจริงของความสูง  $d_h$  ภาคตัดทรงกระบอก สามารถใช้ความสูงทรงกระบอก  $h$  ช่วยในการคำนวณ แสดงด้วยสมการ

$$d_h = h \sin \alpha_t \quad (3.10)$$

จาก (3.10) ความสูงพินิจจึงมีค่าเท่ากับ  $h \cos \alpha$  สอดคล้องกับความเชื่อง  $e = \cos \alpha$  ดังนั้นจาก (3.9) และ (3.10) ความลึกจริงของแกนทรงกระบอก  $D$  จึงแสดงด้วยสมการ

$$D = d_p + d_h \quad (3.11)$$

และมุมพินิจ  $\alpha_i$  ที่กำหนด ส่งผลต่อความลึกจริง  $D$  สูงสุดเมื่อ  $r_0 = a_s$  ด้วยเงื่อนไข  $\frac{\partial D}{\partial \alpha_i} = -2a_s \sin \alpha_i + h \cos \alpha_i = 0$  หรือ  $\alpha_i = \tan^{-1}\left(\frac{h}{2a_s}\right)$

5) พื้นที่ไม่สัมพรรคของแกนทรงกระบอกพินิจ: มุมมองทัศนนิติ (perspective) จากพื้นที่ไม่สัมพรรคของ แกนทรงกระบอกพินิจแตกต่างจากมุมมองจากพื้นที่ของแกนทรงกระบอกพินิจอย่างเห็นได้ชัด

พื้นที่ไม่สัมพรรคของระนาบพินิจ  $A_{pnf}$  สามารถประมาณจากจุดจำเป็นจำนวน 4 จุดจาก (2.16) ยกตัวอย่าง จุดอ้างอิงในรูปแบบ  $(x, y, z, 1)$  จำนวน 4 จุด ประกอบด้วย  $(1, 3.5, z, 1)$   $(6, 3.5, z, 1)$   $(3.5, 1, z, 1)$  และ  $(3.5, 6, z, 1)$  ซึ่งจันคู่กับจุดใหม่จำนวน 4 จุดที่สอดคล้องกับ (2.16) และ (3.1) ซึ่งแสดงผลลัพธ์ครึ่งแกนหลักวงรี  $\tilde{a}_s$  หรือค่าของ  $a_s$  ระหว่าง  $a_s(1)$  และ  $a_s(z)$  แสดงด้วยสมการ

$$\tilde{a}_s = a_s\left(\frac{z+1}{2}\right), \quad x'_i - x'_d = a_s \quad (3.12)$$

ผลลัพธ์ครึ่งแกนรองวงรี  $\tilde{b}_s$  หรือค่าของ  $b_s$  ระหว่าง  $b_s(1)$  และ  $b_s(z)$  แสดงด้วยสมการ

$$\tilde{b}_s = b_s\left(\frac{z+1}{2}\right), \quad y'_i - y'_d = b_s \sin \alpha_i \quad (3.13)$$

ดังนั้นพื้นที่ไม่สัมพรรคของระนาบพินิจ  $A_{pnf}$  ของทรงกระบอกจึงสามารถประมาณค่าจากจุด จำเป็นทั้ง 4 จุดดังกล่าวข้างต้น แสดงด้วยสมการ

$$A_{pnf} = \pi \tilde{a}_s \tilde{b}_s \quad (3.14)$$

และพื้นที่ไม่สัมพรรคตามความสูงพินิจ  $A_{hnf}$  ของทรงกระบอกจึงสามารถประมาณค่าด้วย สมการ

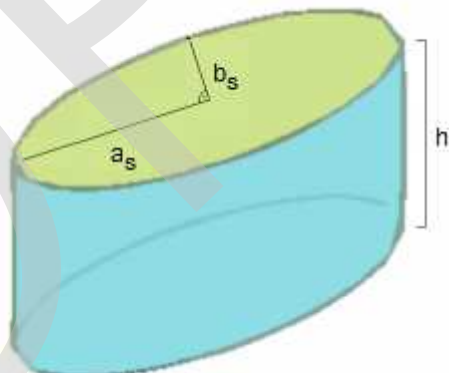
$$A_{hnf} = \left(2a_s(z) - \frac{1}{2}\lambda z\right) h \cos \alpha_i, \quad z = d_h + 1 \quad (3.15)$$

เพราฉะนั้นพื้นที่ไม่สัมพรัคของแกนทรงกระบอกพินิจ  $A_{nf}$  จึงสามารถประมาณด้วยสมการ

$$A_{nf} = A_{pmf} + A_{hmf} \quad (3.16)$$

### องค์ประกอบสำคัญในงานแผนภูมิแห่งความถี่ภาพ

งานวิจัยพิจารณาวัตถุที่มีการเคลื่อนที่ในภาพ และแบบจำลองทรงกระบอก 3D ที่กำหนดใช้ในการทดลองเกิดกิจกรรมการหมุนรอบจุดหมุนเนื่องจากแรงภายในอกหรือแรงโน้มถ่วง ส่งผลให้แผนภูมิแห่งความถี่ภาพปรับตัวเนื่องจากมุมพินิจชั่วขณะ (instantaneous inspected angle) และส่งผลให้แท่งความถี่ภาพสำคัญของภาพระดับความเข้มแสงมีค่าหัวรับพื้นที่หน้าตัดวงกลม และภาพระดับความเข้มแสงเจ้าหัวรับพื้นที่รอบกระบวนการทำการปรับตัวพร้อมกัน เรียกแต่ละองค์ประกอบว่า “องค์ประกอบสำคัญในงาน” หรือ “แท่งความถี่ภาพสำคัญในงาน” ดังนี้เมื่อมุมพินิจชั่วขณะเกิดการเปลี่ยนแปลงจากการหมุนรอบจุดหมุนจึงสามารถแสดงแผนภูมิแห่งความถี่ภาพของพื้นที่หน้าตัดกระบอกและพื้นที่รอบกระบวนการในแบบจำลองทรงกระบอก 3D สอดคล้องกับการหมุนและสมการการจับคู่ของภาพฐานการอ้างอิงระบบพิกัดเอกพันธ์ 5 มิติ (5DH)



ภาพที่ 3.2 ภาคตัดขวางสำหรับแบบจำลองทรงกระบอก 3D

## องค์ประกอบสำคัญแผนภูมิแห่งความถี่ภาพสี

การแปลงภาพสีตามมาตรฐานของสมาคมการส่องสว่างนานาชาติ CIE [39] [40] ส่งผลให้ภาพชุดสีปัจจุบันแสดง เกี่ยว น้ำเงิน RGB ที่ผ่านการแยกสีสามารถแสดงด้วยภาพสีปัจจุบัน และภาพสีปัจจุบัน ร่วมกับองค์ประกอบสำคัญแผนภูมิแห่งความถี่ภาพสีปัจจุบันนัยของ และ ตามลำดับ

### จำนวนความแตกต่างชุดภาพ

พิจารณาแผนภูมิแห่งความถี่ภาพของภาพระดับความเข้มแสงเดียวที่มีความละเอียดภาพ (resolution)  $M \times N$  สามารถใช้จำนวนความแตกต่างชุดภาพ  $n_d$  ของแผนภูมิแห่งความถี่ภาพสำหรับคู่ภาพนี้ ซึ่งมาจากการแบ่งขั้นสองเลนส์ (binocular rivalry) [29] [32] ใน การรับภาพ

กรณีแผนภูมิแห่งความถี่ภาพของภาพสองระดับความเข้มแสงและภาพขาวดำที่มีความละเอียดภาพ  $M \times N$  ใช้  $n_d$  ของแผนภูมิแห่งความถี่ภาพสำหรับคู่ภาพ เนื่องมาจากการแบ่งขั้นสองเลนส์รับภาพที่แตกต่างกันของทัศนียภาพ (scene) เพื่อเปรียบเทียบ และเพื่อวิเคราะห์  $n_d$  ของแผนภูมิแห่งความถี่ภาพของภาพสองระดับความเข้มแสงจึงแบ่งชนิดภาพต่าง ๆ แต่ละชนิดตามตำแหน่งวัดๆ ได้แก่ ตำแหน่งวัดๆ ของและตำแหน่งวัดๆ ศูนย์กลางของภาพ

ส่วนกรณีแผนภูมิแห่งความถี่ภาพของภาพสีมีความละเอียดภาพ  $M \times N$  ใช้  $n_d$  ซึ่งคำนึงถึงจำนวนสีปัจจุบัน นอกเหนือจากการทดสอบแผนภูมิแห่งความถี่ภาพของภาพสียังคำนึงปัจจัยความสัมพรรคและไม่สัมพรรคของวัตถุเคลื่อนที่ เช่น วัตถุเคลื่อนที่ในทัศนียภาพตามโครงเรื่องสั้นหรือบทบาทยนต์ (scenario) เป็นต้น

## บทที่ 4

### ผลการวิจัย

บทที่ 4 แสดงผลการวิจัยที่ได้จากการประยุกต์ทฤษฎีในบทที่ 2 เช่น การปรับเท่าภาค และการใช้การจำลองแบบซึ่งนำเสนอในบทที่ 3 ผลที่ได้สามารถวิเคราะห์ผลในหัวข้อดัง ๆ ตามลำดับดังต่อไปนี้ ผลเปรียบเทียบแผนภูมิแห่งความถี่ภาคสัมพรรคและไม่สัมพรรค ผลเปรียบเทียบแผนภูมิแห่งความถี่ภาคไวยานสัมพรรคและไม่สัมพรรค ผลเปรียบเทียบแผนภูมิแห่งความถี่ภาคสี ผลเปรียบเทียบจำนวนความแตกต่างจุดภาพ 3 มิติ

#### ผลเปรียบเทียบแผนภูมิแห่งความถี่ภาคสัมพรรคและไม่สัมพรรค

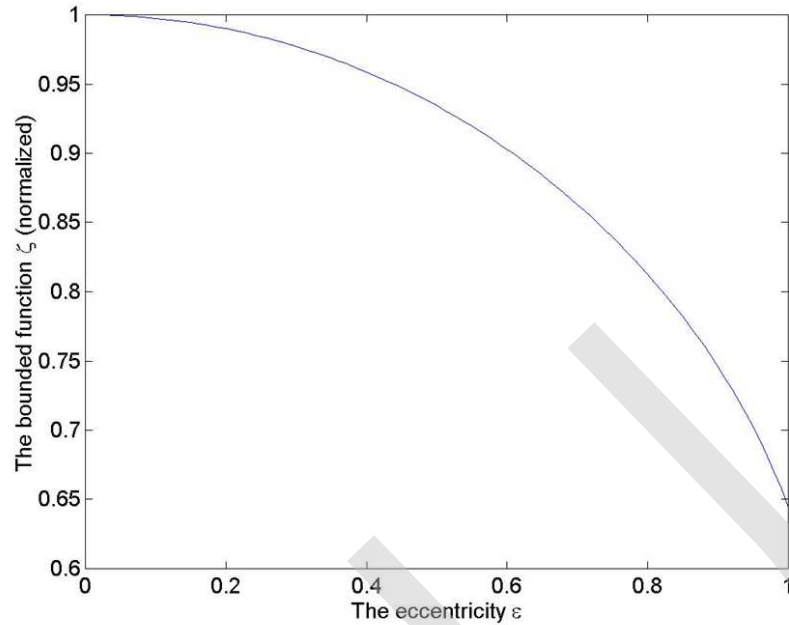
การจำลองแบบเชิงตัวเลขในบทนี้เกี่ยวข้องกับการวิเคราะห์แบบจำลองทรงกระบอก 3D โดยใช้สมการจากบทที่ 2 และ 3 โดยภาพที่ 4.1 แสดงฟังก์ชันขอบเขต (bounded function)  $\zeta$  หรือเส้นรอบวงวี มาตรฐาน (normalized) (ค.7) กำกับด้วยความเยื่อง (eccentricity)  $\epsilon$  ดังนี้  $\zeta$  จึงใช้เพื่อแสดงผลจากสมการที่เกี่ยวข้องกับภาคสัมพรรคและไม่สัมพรรค

#### 1. ภาคสัมพรรค

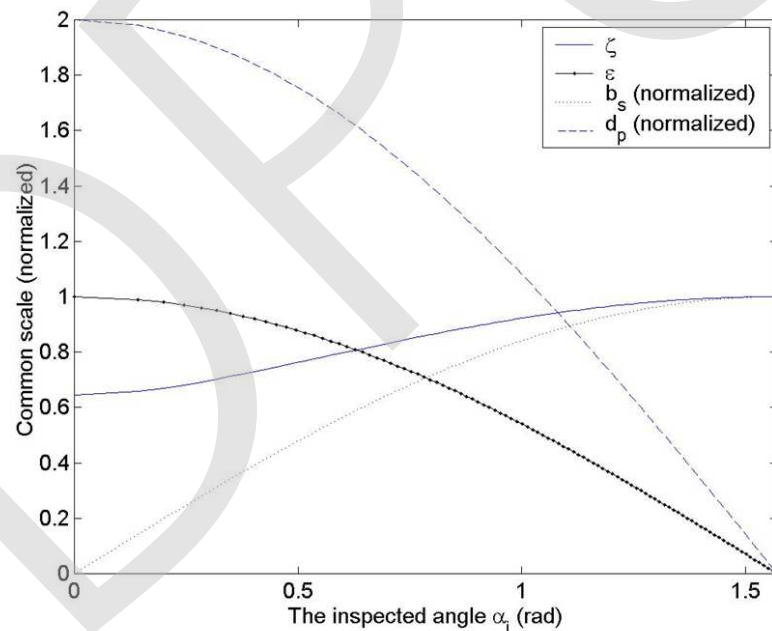
การอนุพันธ์ฟังก์ชันขอบเขต  $\zeta$  ด้วยมุมพินิจ  $a_i$  หรือ  $\frac{\partial \zeta}{\partial a_i}$  ให้ผลตอบสนองแบบไม่เชิงเส้นดังแสดงในภาพที่ 4.2 นอกจากนั้นภาพที่ 4.2 ยังแสดงฟังก์ชันขอบเขต  $\zeta$  ความเยื่อง  $\epsilon$  ครีงแกนรองวี  $b_s$  มาตรฐาน(normalized) ของภาคตัดทรงกระบอก และความลึกจริงของระนาบพินิจ  $d_p$  ซึ่งเป็นฟังก์ชันของ  $a_i$  สอดคล้องกับ (3.5) และ (3.7) โดย  $a_i = a$

จาก (3.11) ความลึกจริงแกนทรงกระบอก  $D$  สามารถแสดงในภาพที่ 4.3 โดยให้  $D$  ลึกสุดที่  $a_i = \tan^{-1}\left(\frac{h}{2a_s}\right)$  ยกตัวอย่าง  $a_i = \tan^{-1}\left(\frac{5}{2}\right) = 1.1903 \text{ rad}$  หรือ  $68.1956^\circ$  และความลึกจริงของแกนทรงกระบอกพินิจ  $D$  อย่างอิงกับ  $a_s = 1$  (มาตรฐาน) สำหรับความสูงทรงกระบอก  $h$  ค่าต่าง ๆ ซึ่งสัมพันธ์กับครีงแกนหลักวี  $a_s$  ยกตัวอย่างในกรณี  $h = 5a_s$  คือ  $D = d_p + d_h$  หรือ  $2\sqrt{2^2+5^2} + 5\sqrt{2^2+5^2} = \sqrt{29}$  นอกจากนี้ภาพที่ 4.3 ยังแสดงผล  $D$  ในกรณี  $h = 2a_s$   $h = 5a_s$  และ  $h = 10a_s$

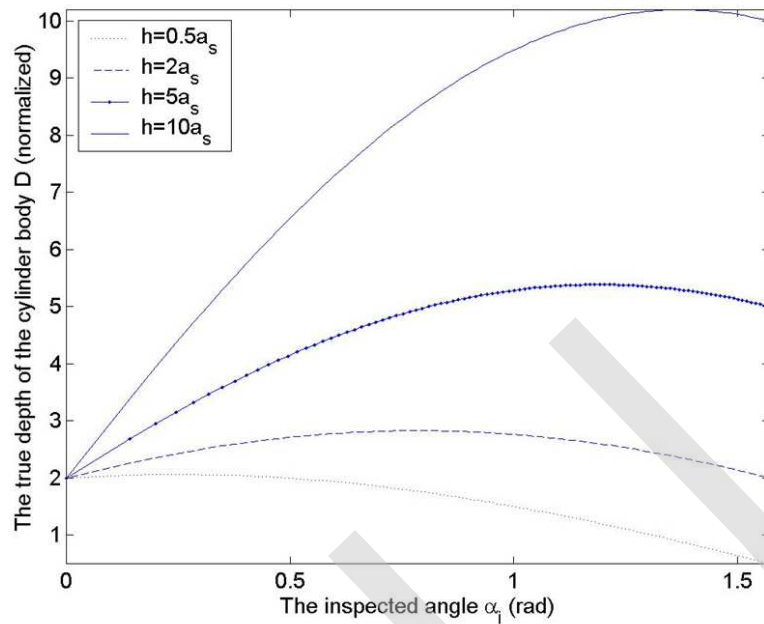
และจาก (3.7) พื้นที่แกนทรงกระบอกพินิจ  $A$  สำหรับความสูงทรงกระบอก  $h$  ค่าต่าง ๆ ซึ่งสัมพันธ์กับครีงแกนหลักวี  $a_s = 1$  (มาตรฐาน) สามารถแสดงในภาพที่ 4.4



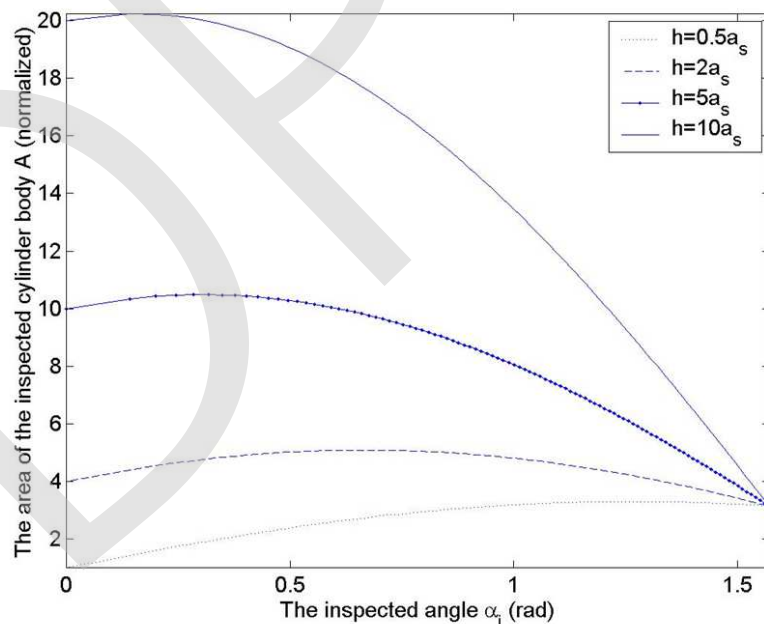
ภาพที่ 4.1 ความสัมพันธ์ระหว่างฟังก์ชันขอบเขต  $\xi$  และความเยื้อง  $\varepsilon$



ภาพที่ 4.2 ความสัมพันธ์ระหว่างฟังก์ชันขอบเขต  $\xi$  และความเยื้อง  $\varepsilon$  ครึ่งแกนรองวงรี  $b_s$  มาตรฐาน (normalized) ของภาคตัดทรงกระบอก ความลึกจริงของระนาบพินิจ  $d_p$  และมุมพินิจ  $\alpha_i$



ภาพที่ 4.3 ความสัมพันธ์ระหว่างความลึกจริงของแกนทรงกระบอกพินิจ  $D$  และมุมพินิจ  $a_s$  สำหรับความสูงทรงกระบอก  $h$  ค่าต่าง ๆ ซึ่งสัมพันธ์กับครึ่งแกนหลักวงรี  $a_s = 1$  (เมตรฐาน)

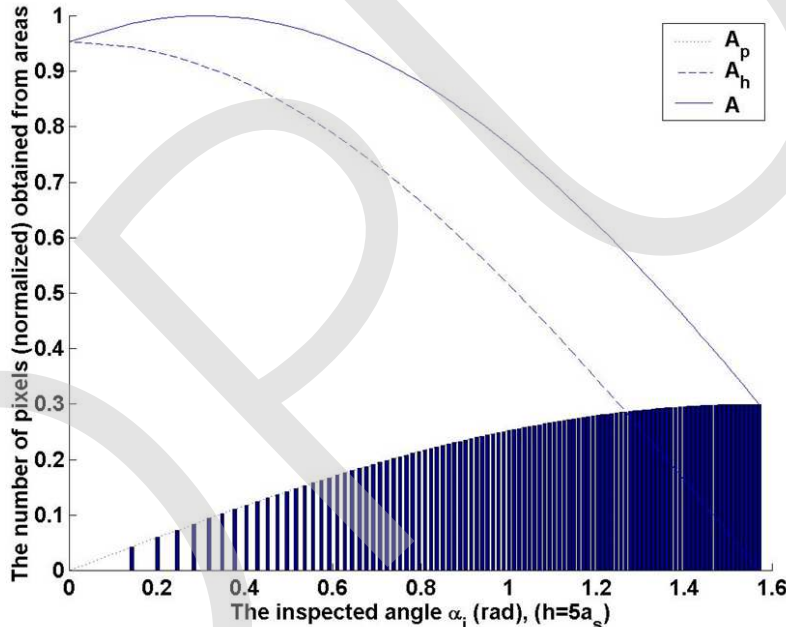


ภาพที่ 4.4 ความสัมพันธ์ระหว่างพื้นที่แกนทรงกระบอกพินิจ  $A$  และมุมพินิจ  $a_s$  สำหรับความสูงทรงกระบอก  $h$  ค่าต่าง ๆ ซึ่งสัมพันธ์กับครึ่งแกนหลักวงรี  $a_s = 1$  (เมตรฐาน)

อย่างไรก็ตามพื้นที่ระนาบพินิจ  $A_p$  และพื้นที่ตามความสูงพินิจ  $A_h$  สามารถแสดงด้วยจำนวนชุดภาพได้ และสามารถนำเสนอด้วยแผนภูมิเท่ความถี่ภาพสำหรับงาน/ปรับตัวสมนัยของชุดจำนวนชุดภาพของ  $A_p$  และ  $A_h$  แสดงด้วยเท่ความถี่ภาพสำหรับงาน/ปรับตัวสมนัยของชุด

แผนภูมิแห่งความถี่ภาพ ดังนั้นแผนภูมิแห่งความถี่ภาพสมนัยในชุดแผนภูมิแห่งความถี่ภาพของแกนทรงกระบอกพินิจของแบบจำลองทรงกระบอก 3D สอดคล้องกับภาพฐานการอ้างอิงระบบพิกัดเอกพันธ์ 5 มิติ (5DH) ดังแสดงในภาพที่ 4.5 ซึ่งการหมุนของวัตถุหรือทรงกระบอกส่งผลต่อแห่งความถี่ภาพสำคัญไวางานตามมุมพินิจ  $\alpha_i$  ขั้วนะ โดยแห่งความถี่ภาพสำคัญจากจำนวนจุดภาพของ  $A_p$  ระบุระดับความเข้มแสงสีมืด (dark) และแห่งความถี่ภาพสำคัญจากจำนวนจุดภาพของ  $A_h$  ระบุระดับความเข้มแสงสีเจ้า (bright)

ทั้งนี้  $A$  (มาตรฐาน) กว้างสุดเท่ากับ 1 เกิดขึ้นที่มุมพินิจ  $\alpha_i = \tan^{-1}\left(\frac{\pi a_s}{2h}\right) = 0.3044 \text{ rad}$  หรือ  $(17.4406^\circ)$  ยกตัวอย่างในกรณี  $h = 5a_s$  คือ  $A = A_p + A_h$  หรือ  $\pi a_s b_s + 2a_s h \cos \alpha_i$  เท่ากับ  $\pi \sin \alpha_i + 10 \frac{10}{\sqrt{\pi^2 + 100}} = \sqrt{\pi^2 + 100}$



ภาพที่ 4.5 ตัวอย่างชุดแผนภูมิแห่งความถี่ภาพของแห่งความถี่ภาพสำคัญไวางานของคู่จำนวนจุดภาพจากพื้นที่ระนาบพินิจ  $A_p$  และพื้นที่ตามความสูงพินิจ  $A_h$  ( $h = 5a_s$ ) โดยอ้างอิงกับมุมพินิจ (หมายเหตุ พื้นที่แกนทรงกระบอกพินิจ  $A$  แสดงพื้นที่ทั้งหมด และ  $A$  (มาตรฐาน) กว้างสุดเท่ากับ 1)

## 2. ภาพไม่สัมพรรค

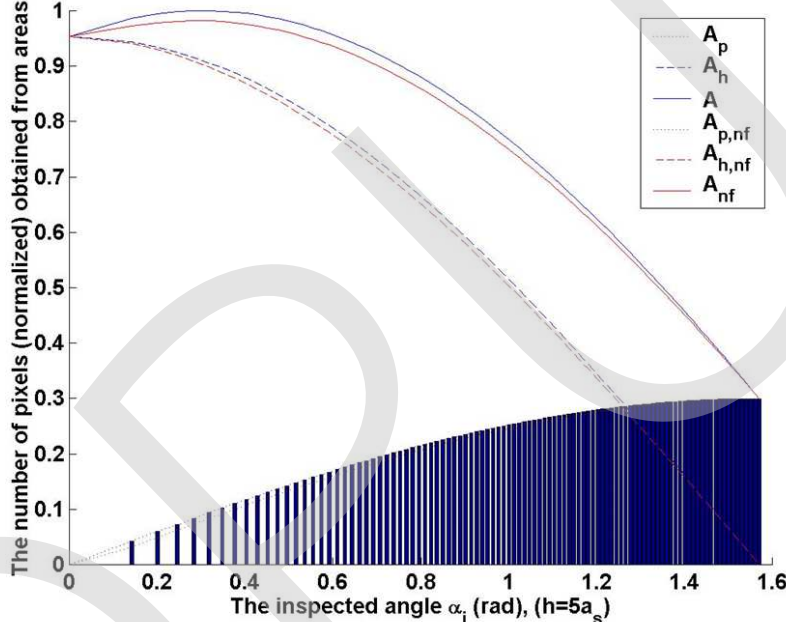
จาก (2.17) เมื่อทำการปรับค่า (*bottom, top*) เท่ากับ (1,6) เพื่อแสดงพิกัดทรงกระบอกหน้าตัดวงกลมสัมบูรณ์ การจับคู่ไม่สัมพรรคของ 4DH แสดงด้วยสมการ

$$\begin{bmatrix} x' \\ y' \\ z' \\ w \end{bmatrix} = \begin{bmatrix} 0.40 & 0.00 & 1.40 & 0.00 \\ 0.00 & 0.40 & 1.40 & 0.00 \\ 0.00 & 0.00 & -1.21 & -2.21 \\ 0.00 & 0.00 & -1.00 & 0.00 \end{bmatrix} \begin{bmatrix} x \\ y \\ z \\ 1 \end{bmatrix} \quad (4.1)$$

อ้างอิงจาก (2.16) (3.1) (3.16) เมื่อกำหนดให้  $\beta = 2$  และ  $\lambda = \frac{1 - \frac{near_i}{far_i}}{far - near} = 0.0366$  จุด

$P$  ในรูปแบบ  $(x, y, z, 1)$  ของทรงกระบอกหน้าตัดวงกลม ได้รับการจับคู่และได้การกำหนดค่าใหม่ ดังนั้น ชุดแผนภูมิแห่งความถี่ภาพขององค์จํานวนจุดภาพจากพื้นที่ไม่สัมพรrocของระนาบพินิจ  $A_{p,nf}$  และ พื้นที่ไม่สัมพรrocตามความสูงพินิจ  $A_{h,nf}$  สามารถเปรียบเทียบกับชุดแผนภูมิแห่งความถี่ภาพขององค์จํานวนจุดภาพจากพื้นที่ของระนาบพินิจ  $A_p$  และพื้นที่ตามความสูงพินิจ  $A_h$  ดังแสดงในภาพที่ 4.6

ทั้งนี้ จำนวนจุดภาพจากพื้นที่ไม่สัมพรroc  $A_{nf}$  กว้างสุดเกิดขึ้นที่มุมพินิจ  $a_i = \tan^{-1}\left(\frac{\pi a_s}{2h}\right) = 0.2838 \text{ rad}$  หรือ  $(16.2605^\circ)$  สัมพัทธ์กับจำนวนจุดภาพจากพื้นที่  $A = 1$



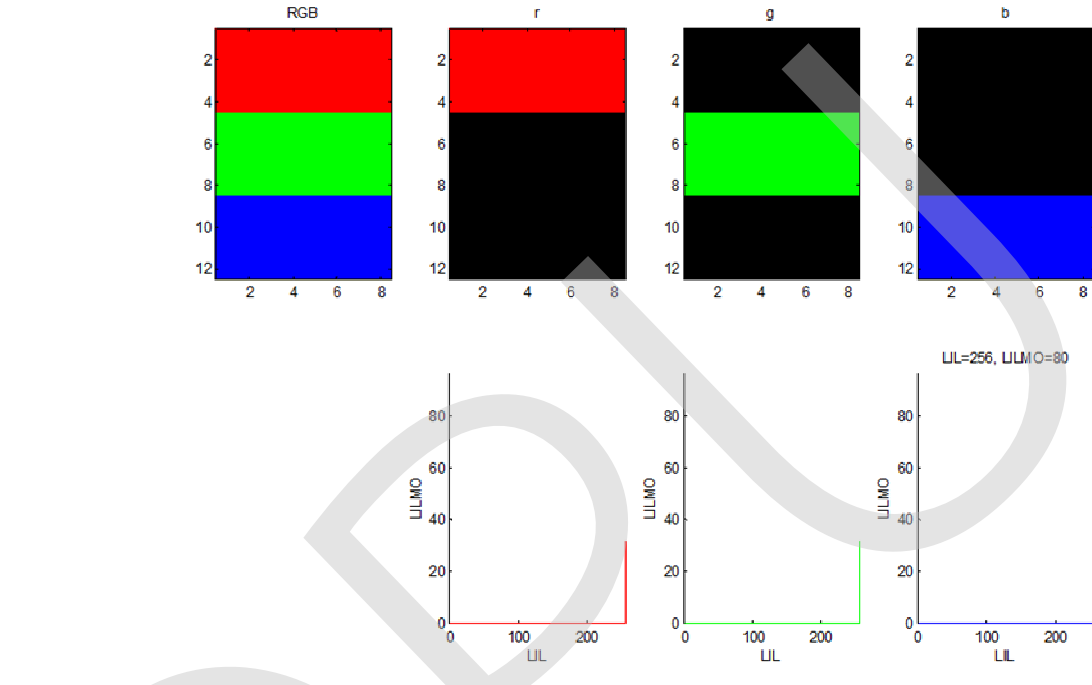
ภาพที่ 4.6 ตัวอย่างชุดแผนภูมิแห่งความถี่ภาพของแห่งความถี่ภาพสำคัญ ไวยางขององค์จํานวนจุดภาพจาก พื้นที่ไม่สัมพรrocระนาบพินิจ  $A_{p,nf}$  และพื้นที่ไม่สัมพรrocตามความสูงพินิจ  $A_{h,nf}$  ( $h = 5a_s$ ) โดย อ้างอิงกับมุมพินิจ

(หมายเหตุ พื้นที่แกนทรงกระบอกพินิจ  $A$  แสดงพื้นที่ทั้งหมด และ  $A$  (มาตรฐาน) กว้างสุดเท่ากับ 1)

### ผลเปรียบเทียบแผนภูมิแห่งความถี่ภาพ

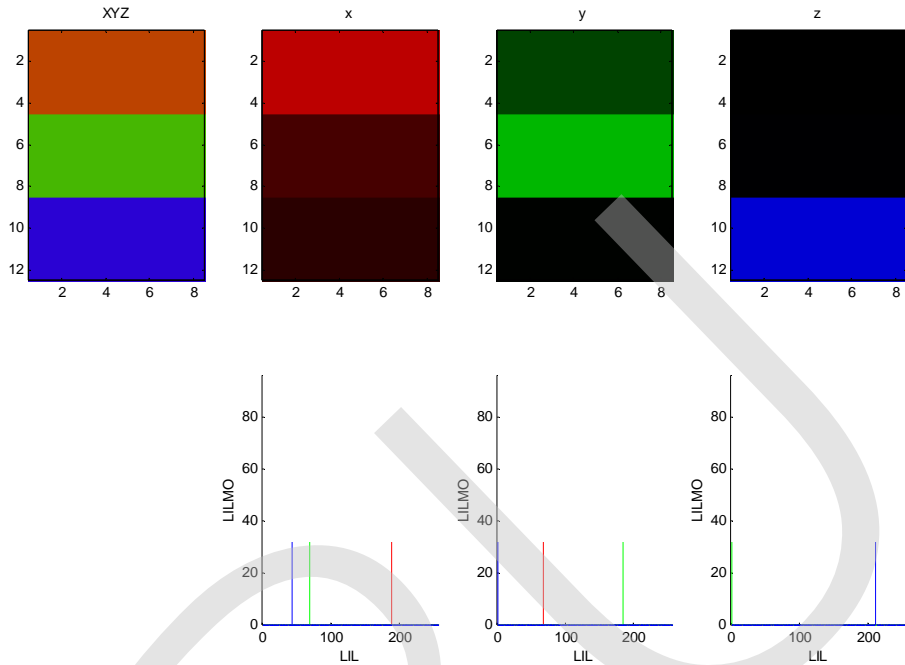
ภาพที่ 4.7 แสดงภาพลีตันฉบับสำหรับชุดสีปฐมภูมิ RGB หรือ  $RGB$  ที่แสดงส่วนผสมด้วยภาพสี ปฐมภูมิแดง  $r$  ภาพสีปฐมภูมิเขียว  $g$  และภาพสีปฐมภูมน้ำเงิน  $b$  ประกอบกับแผนภูมิแห่งความถี่ภาพสี ปฐมภูมิสมนัยของภาพ  $r$ ,  $g$  และ  $b$  ตามลำดับ โดยแผนภูมิแห่งความถี่ภาพแต่ละภาพประกอบด้วย นานวนอนแสดงระดับความเข้มแสงในช่วง [1,256] และแนวตั้งแสดงจำนวนจุดภาพหรืออันดับสมาชิก ระดับความเข้มแสง LILMO [11] และระดับความเข้มแสงในนานวนอนแสดงด้วยระดับความเข้มแสง  $I$  หรือ LIL [11] ดังนั้นจุดภาพสีจำนวนเท่ากันของ  $r$ ,  $g$  และ  $b$  ใน  $RGB$  จึงสามารถแสดงส่วนผสมด้วย แผนภูมิแห่งความถี่  $r$ ,  $g$  และ  $b$  ด้วยแห่งความถี่ภาพสีสมนัย หรือจุดภาพสีของ  $r$ ,  $g$  และ  $b$  ในภาพที่ 4.7 เท่ากับ  $1/3$  ของจำนวนจุดภาพใน  $RGB$  หรือ  $96$  จุดภาพ จึงได้ผลลัพธ์  $32$  จุดภาพ ณ ระดับความเข้มแสง

### อินตัวเท่ากับ 256



ภาพที่ 4.7 ภาพชุดสีปฐมภูมิ RGB หรือ **RGB** ประกอบด้วย **r**, **g** และ **b** และแผนภูมิแห่งความถี่ภาพสี สมนัย ตามลำดับ (จำนวนจุดภาพสีในแนวตั้งของแผนภูมิแห่งความถี่ภาพสีแสดงค่าจำนวนจุดภาพหรือ อันดับสมาชิกระดับความเข้มแสง LILMO [11])

ภาพที่ 4.8 แสดงภาพสีสำหรับชุดสีปฐมภูมิ XYZ หรือ **XYZ** จากตัวอย่างการแปลง **RGB** (2.6) ดังนั้น **XYZ** จึงสามารถแสดงค่า **x**, **y** และ **z** ประกอบกับแผนภูมิแห่งความถี่ภาพสีสมนัยตามลำดับ ดังนั้นจุดภาพสีจำนวนต่าง ๆ ของ **r**, **g** และ **b** ใน **XYZ** จึงสามารถแสดงส่วนผสมต่าง ๆ ด้วยแผนภูมิแห่งความถี่ **x**, **y** และ **z** ด้วยแห่งความถี่ภาพสีสมนัยหรือจุดภาพของ **r**, **g** และ **b** สมนัยในภาพที่ 4.8 ซึ่ง สามารถคำนวณจาก (2.6) และแสดงผลอย่างชัดเจนในตารางที่ 4.1



ภาพที่ 4.8 ภาพชุดสีปฐมภูมิ  $XYZ$  ประกอบด้วย  $x$ ,  $y$  และ  $z$  และแผนภูมิแท่งความถี่ภาพสีสมนัยตามลำดับ (จำนวนจุดภาพสีในแนวตั้งของแผนภูมิแท่งความถี่ภาพสีแสดงด้วยจำนวนจุดภาพหรืออันดับสมาชิกระดับความเข้มแสง LILMO [11])

ตารางที่ 4.1 ระดับความเข้มแสงของแผนภูมิแท่งความถี่ภาพสีสมนัยของภาพชุดสีปฐมภูมิ RGB และ  $XYZ$   
ในภาพที่ 4.7 และ 4.8 ตามลำดับ

ภาพ	จำนวนจุดภาพ/ระดับความเข้มแสง		
	$r$	$g$	$b$
$r$	32/256	-	-
$g$	-	32/256	-
$b$	-	-	32/256
$x$	32/188	32/70	32/43
$y$	32/168	32/184	32/2
$z$	-	32/2	32/211

## ผลสมการเปรียบเทียบจำนวนความแตกต่างจุดภาพ 3D

ขั้นตอนวิธีที่นำเสนอด้วยในบทที่ 3 หัวข้อจำนวนความแตกต่างจุดภาพ  $n_d$  สามารถประยุกต์และแสดงผลสำหรับชนิดภาพต่าง ๆ ด้วยการเปรียบเทียบคู่แผนภูมิแห่งความถี่ภาพของคู่ภาพซ้ายขวา ( $I_L, I_R$ ) โดยมีรายละเอียดผลการเปรียบเทียบตามลำดับ

### 1. คู่ภาพระดับความเข้มแสงเดียว

กรณีคู่ภาพระดับความเข้มแสงเดียว [11] สำหรับภาพซึ่งมีความละเอียดภาพ  $M \times N$  จากความกว้างภาพและความยาวภาพ สามารถคำนวณจำนวนความแตกต่างจุดภาพ  $n_d$  ของแผนภูมิแห่งความถี่ภาพจากคู่ภาพซ้ายขวา ( $I_L, I_R$ ) เนื่องมาจากขั้นตอนการแบ่งขั้นสองเลนส์ (binocular rivalry) ในขั้นตอนวิธีนำเสนอด้วยผลสมการ

$$n_d = (M + d_L - d_R)N - (M - d_L + d_R)N = 0, \quad d_L = d_R \quad (4.1)$$

โดยที่

$d_L$  คือระยะของจุดจดทะเบียนในภาพซ้าย  $I_L$

$d_R$  คือระยะของจุดจดทะเบียนในภาพขวา  $I_R$

### 2. คู่ภาพเนินต่ำสองระดับความเข้มแสง

คู่ภาพเนินต่ำสองระดับความเข้มแสงใช้การพิจารณาแผนภูมิแห่งความถี่ภาพของคู่ภาพสองระดับความเข้มแสง [11] สำหรับภาพซึ่งมีความละเอียดภาพ  $M \times N$  และมีระดับความเข้มแสงอ่อนสุด  $I_{max}$  สามารถคำนวณจำนวนความแตกต่างจุดภาพใกล้สูงสุด  $n_{d,max}$  ของแผนภูมิแห่งความถี่ภาพจากคู่ภาพซ้ายขวา ( $I_L, I_R$ ) เนื่องมาจากขั้นตอนการแบ่งขั้นสองเลนส์ในขั้นตอนวิธีนำเสนอด้วยผลสมการ

$$n_{d,max} = N(d_L + d_R) \quad (4.2)$$

นอกจากนี้ ภาพซึ่งมีความละเอียดภาพ  $M \times N$  สามารถคำนวณจำนวนความแตกต่างจุดภาพใกล้ต่ำสุด  $n_{d,min}$  ด้วยผลสมการ

$$n_{d,min} = 0 \quad (4.3)$$

ดังนั้น ความแตกต่างคู่ภาพเนินต่ำสองระดับความเข้มแสงสามารถแสดงจำนวนความแตกต่างจุดภาพ  $n_d$  ภายใต้ในขอบเขต (4.2) และ (4.3) และคู่ภาพเนินต่ำสองระดับความเข้มสามารถจัดได้ 2 ประเภท คือ คู่ภาพเนินต่ำสองระดับความเข้มแสงของวัตถุของภาพ และภาพเนินต่ำสองระดับความเข้มแสงของวัตถุกลางภาพตามลำดับ และแสดงด้วยผลสมการ

$$n_{d,min} = N(d_L + d_R) \quad (4.4)$$

นอกจากนี้ ภาพซึ่งมีความละเอียดภาพ  $M \times N$  สามารถคำนวณจำนวนความแตกต่างจุดภาพใกล้ต่ำสุด  $n_{d,max}$  ด้วยผลสมการ

$$n_d = \sum_{n=1}^N \sum_{m=1}^d (1 - I(m, n)) + Nd, \quad d = d_L = d_R \quad (4.5)$$

โดยที่

$$d \quad \text{คือระยะกลาง}$$

และ

$$n_d = 0 \quad (4.6)$$

### 3. คู่ภาพเนินสูงสองระดับความเข้มแสง

การพิจารณาแผนภูมิแห่งความถี่ภาพของคู่ภาพสองระดับความเข้มแสง [11] สามารถจัดได้ 2 ประเภท คือ คู่ภาพเนินสูงสองระดับความเข้มแสงของวัตถุขอบภาพ และคู่ภาพเนินสูงสองระดับความเข้มแสงของวัตถุกลางภาพตามลำดับ แสดงด้วยผลสมการ

$$n_d = \sum_{n=1}^N \sum_{m=1}^d (1 - I^l(m, n)) + Nd, \quad d = d_L = d_R \quad (4.7)$$

โดยที่

$I^l$  คือภาพแสงกระแทบ ยกตัวอย่างกรณีภาพพื้นหน้าแสดงวัตถุที่มีจุดภาพสีดำและพื้นหลังสีขาว การกรอบของแสงส่องส่องให้วัตถุแสดงตัวจุดภาพสีขาว

และ

$$n_d = \sum_{n=1}^N \sum_{m=\lceil \frac{M}{2} \rceil - \lfloor z \tan \theta \rfloor}^{d_L = \lceil \frac{M}{2} \rceil} (1 - I_L(m, n)) + Nd + \sum_{n=1}^N \sum_{m=\lceil \frac{M}{2} \rceil}^{d_R = \lceil \frac{M}{2} \rceil + \lfloor z \tan \theta \rfloor} (1 - I_R(m, n)) + Nd \quad (4.8)$$

โดยที่

$$z \quad \text{คือพิกัด } z \text{ ของระบบภาพซึ่งเส้นปกติไปยัง } z = 0$$

### 4. คู่ภาพเนินต่ำขาวดำ

การใช้แผนภูมิความถี่ภาพแก่คู่ภาพเนินต่ำขาวดำในกรณีสัมพรรษ สามารถคำนวณจำนวนความแตกต่างจุดภาพใกล้สูงสุด  $n_{d,mmxx}$  ของแผนภูมิแห่งความถี่ภาพจากคู่ภาพช้ายขาว ( $I_L, I_R$ ) เนื่องมาจากขั้นตอนการแบ่งบันส่องเลนส์ ด้วยคู่ภาพช้ายขาวที่มีระดับความเข้มแสงแตกต่างกันในขั้นตอนวิธีนำเสนอ ด้วยผลสมการ

$$n_{d,mmxx} = N(d_L + d_R) \quad (4.9)$$

และจำนวนความแตกต่างจุดภาพใกล้ต่ำสุด  $n_{d,mmxx}$  ของแผนภูมิแห่งความถี่ภาพจากคู่ภาพช้ายขาว ( $I_L, I_R$ ) ด้วยระดับความเข้มแสงเดียวกัน แสดงด้วยผลสมการ

$$n_{d,mmxx} = 0 \quad (4.10)$$

ในทางเดียวกันกับคู่ภาพเนินต่ำสองระดับความเข้มแสง รูปแบบที่แตกต่างกันในคู่ภาพเนินต่ำทั้งสองผลให้มีจำนวนความแตกต่างจุดภาพ  $n_d$  แตกต่างกัน ซึ่งสามารถประมาณขอบเขตด้วย (4.9) และ (4.10) และสามารถจัดได้ 2 ประเภท คือ คู่ภาพเนินต่ำทั้งสองวัตถุของภาพ และคู่ภาพเนินต่ำทั้งสองวัตถุของภาพตามลำดับ แสดงด้วยผลสมการ

$$n_d = \sum_{n=1}^N \sum_{m=1}^d [1 - I(m, n)] + Nd, \quad d = d_L = d_R \quad (4.11)$$

โดยที่

- [.] คือฟังก์ชันเพดาน (ceiling function) โดย  $[1 - I(m, n)] = (1 - I(m, n) > 0) = 1$   
สามารถแสดงผลความไวความแตกต่างจุดภาพ

และ

$$n_d = 0 \quad (4.12)$$

## 5. คู่ภาพเนินสูงขาวดำ

ในทัศนิยภาพ (scene) ต่าง ๆ ที่มีการพิจารณาความลึกวัตถุ การใช้แผนภูมิแห่งความถี่ภาพของคู่ภาพขาวดำ [11] สามารถจัดได้ 2 ประเภท คือ คู่ภาพเนินสูงขาวดำของวัตถุของภาพ และคู่ภาพเนินสูงขาวดำของวัตถุของภาพตามลำดับ แสดงด้วยผลสมการ

$$n_d = \sum_{n=1}^N \sum_{m=1}^d [1 - I^t(m, n)] + Nd, \quad d = d_L = d_R \quad (4.13)$$

และ

$$n_d = \sum_{n=1}^N \sum_{m=\lceil \frac{M}{2} \rceil - \lfloor z \tan \theta \rfloor}^{\lceil \frac{M}{2} \rceil} [1 - I_L(m, n)] + Nd + \sum_{n=1}^N \sum_{m=\lceil \frac{M}{2} \rceil + \lfloor z \tan \theta \rfloor}^{d_R = \lceil \frac{M}{2} \rceil} [1 - I_R(m, n)] + Nd \quad (4.14)$$

## 6. คู่ภาพเนินต่ำสี

การใช้แผนภูมิความถี่ภาพแยกคู่ภาพเนินต่ำสี [11] ในกรณีสัมพรรค สามารถคำนวณจำนวนความแตกต่างจุดภาพใกล้สูงสุด  $n_{d,mmnn}$  ของแผนภูมิแห่งความถี่ภาพจากคู่ภาพซ้ายขวา ( $I_L, I_R$ ) เนื่องมาจากขั้นตอนการแบ่งขั้นสองเลนส์ ด้วยคู่ภาพซ้ายขวาที่มีระดับความเข้มแสงแตกต่างกันของชุดสีปฐมภูมิ  $p \in \{r, g, b\}$  ในขั้นตอนวิธีนำเสนอด้วยผลสมการ

$$n_{d,mmnn} = 3N(d_L + d_R) \quad (4.15)$$

และจำนวนความแตกต่างจุดภาพใกล้ต่ำสุด  $n_{d,mmnn}$  ของแผนภูมิแห่งความถี่ภาพจากคู่ภาพซ้ายขวา ( $I_L, I_R$ ) ด้วยระดับความเข้มแสงเดียวกัน แสดงด้วยผลสมการ

$$n_{d,mmnn} = 0 \quad (4.16)$$

ในทางเดียวกันกับคู่ภาพเนินต่ำสองระดับความเข้มแสงและคู่ภาพเนินต่ำขาวดำส่องผลให้มีจำนวนความแตกต่างจุดภาพ  $n_d$  แตกต่างกัน ซึ่งสามารถประมาณขอบเขตด้วย (4.15) และ (4.16) และสามารถจัดได้ 2 ประเภท คือ คู่ภาพเนินต่ำสีของวัตถุขอบภาพ และคู่ภาพเนินต่ำสีของวัตถุกลางภาพตามลำดับ แสดงด้วยผลสมการ

$$n_d = \sum_{p=r}^b \sum_{n=1}^N \sum_{m=1}^d [1 - I(m, n)] + 3Nd, \quad d = d_L = d_R \quad (4.17)$$

และ

$$n_d = 0 \quad (4.18)$$

## 7. คู่ภาพเนินสูงสี

ในทางเดียวกันกับคู่ภาพเนินต่ำสองระดับความเข้มแสงและคู่ภาพเนินต่ำขาวดำส่องผลให้มีจำนวนความแตกต่างจุดภาพ  $n_d$  แตกต่างกัน ซึ่งสามารถประมาณขอบเขตด้วย (4.15) และ (4.16) และสามารถจัดได้ 2 ประเภท คือ คู่ภาพเนินต่ำสีของวัตถุขอบภาพ และคู่ภาพเนินต่ำสีของวัตถุกลางภาพซึ่งลดผล  $n_d$  บริเวณขอบคู่ภาพซ้ายขาวตามลำดับ แสดงด้วยผลสมการ

$$n_d = \sum_{p=r}^b \sum_{n=1}^N \sum_{m=1}^d [1 - I^L(m, n)] + 3Nd, \quad d = d_L = d_R \quad (4.19)$$

และ

$$n_d = \sum_{p=r}^b \sum_{n=1}^N \sum_{\substack{m=1 \\ m=\left[\frac{M}{2}\right]-[x \tan \theta]}}^{d_L=\left[\frac{M}{2}\right]} [1 - I_L(m, n)] + \sum_{p=r}^b \sum_{n=1}^N \sum_{\substack{m=1 \\ m=\left[\frac{M}{2}\right]+[x \tan \theta]}}^{d_R=\left[\frac{M}{2}\right]+[x \tan \theta]} [1 - I_R(m, n)] \quad (4.20)$$

## บทที่ 5

### สรุป อภิปรายผล และข้อเสนอแนะ

บทที่ 5 ประกอบด้วยการสรุปผลการวิจัยตามวัตถุประสงค์ การอภิปรายผลวิจัย และข้อเสนอแนะในการทำวิจัยต่อเนื่องในอนาคต

#### สรุปผลการวิจัย

##### 1. วัตถุประสงค์ของการวิจัย

เพื่อเสนอวิธีการปรับเท่าฐานแผนภูมิแห่งความถี่แบบกำหนดด้วยการวัดฟังก์ชันความหนาแน่น ความน่าจะเป็นและฟังก์ชันความหนาแน่นสะสมอย่างชัดเจนสำหรับภาพ 3D และเสนอวิธีการปรับเท่าฐานแผนภูมิแห่งความถี่ชนิดเพิ่มความยืดหยุ่นทางการประมวลผลในการใช้งาน 3D ในสิ่งแวดล้อมเสมือนจริง โดยพิจารณา  $d_{Minik}$

##### 2. วิธีการดำเนินการวิจัย

วิธีการดำเนินวิจัยประกอบด้วย การจัดชุดภาพ การปรับเท่าภาพแบบเลือกส่วนภาพสำหรับทัศนียภาพสัมพรรด (affine) ปัจจัยสังเกตการณ์ไม่สัมพรรด (non-affine) องค์ประกอบสำคัญของแผนภูมิแห่งความถี่ภาพ รวมถึงองค์ประกอบสำคัญไวยางานของแผนภูมิแห่งความถี่ภาพชั้งทั้ง 2 กรณีใช้แผนภูมิแห่งความถี่ภาพเป็นเครื่องมือหลักในการทดลองและทดสอบ ทั้งนี้องค์ประกอบสำคัญไวยางานแผนภูมิแห่งความถี่ภาพในสิ่งแวดล้อมเสมือนจริง องค์ประกอบสำคัญแผนภูมิ แห่งความถี่ภาพสีในสิ่งแวดล้อมเสมือนจริง และอธิบายจำนวนความแตกต่างจุดภาพของชุดภาพต่างๆ โดยพิจารณาระยะทางมนิกอร์สกีด้วยเลขชี้กำลังประภูมิปกติ โดยเครื่องมือการวิจัยได้แก่ ชนิดภาพแผนภูมิแห่งความถี่ภาพสมัยและจำนวนความแตกต่างจุดภาพ ส่วนการประมวลผลภาพเพื่อได้มาซึ่งผลการทดลองและการทดสอบ ตลอดจนการวิเคราะห์ผลประกอบด้วย การปรับเท่าภาพ การปรับเท่าภาพแบบเลือกส่วนภาพ และการปรับเท่าภาพสีด้วยการพิจารณาปัจจัยที่เกี่ยวข้องได้แก่ ระดับความเข้มแสง และชุดสีประภูมิ ปัจจัยสังเกตการณ์ไม่สัมพรรดและแผนภูมิแห่งความถี่ภาพ องค์ประกอบสำคัญไวยางานของแผนภูมิแห่งความถี่ภาพ ทั้งนี้ภาพเนินต่ำและภาพเนินสูงสำหรับการทดสอบภาพ 3D ใช้จำนวนความแตกต่างจุดภาพของคู่ภาพชั้นข่าว

##### 3. ผลการวิเคราะห์ข้อมูล

ผลการวิจัยที่ได้จากการประยุกต์ทฤษฎี เช่น การปรับเท่าภาพ และการใช้การจำลองแบบ สามารถ

แสดงด้วย ผลเปรียบเทียบแผนภูมิแท่งความถี่ภาพสัมพรรคและไม่สัมพรรค ผลเปรียบเทียบแผนภูมิแท่งความถี่ภาพสี ผลเปรียบเทียบจำนวนความแตกต่างจุดภาพ 3 มิติ โดยมีรายละเอียดดังต่อไปนี้

## อภิปรายผล

### 1. ผลเปรียบเทียบแผนภูมิแท่งความถี่ภาพสัมพรรคและไม่สัมพรรค

แท่งความถี่ภาพสำคัญ ไวยางของแผนภูมิแท่งความถี่ภาพของแบบจำลองทรงกระบอก 3D แสดงค่าจริงและค่าพินิจตามค่าสมนัย 3D ต่าง ๆ ค่าจริงของแบบจำลองทรงกระบอก 3D ได้แก่ ปัจจัยที่เกี่ยวข้องต่าง ๆ เช่น ความเยื่อง มุกความเยื่อง และความลึกจริงของแกนทรงกระบอก ส่วนค่าพินิจของแบบจำลองทรงกระบอก 3D ได้แก่ ปัจจัยที่เกี่ยวข้องกับระบบพินิจ โดยเน้นพื้นที่แกนทรงกระบอกพินิจ และพื้นที่ไม่สัมพรรคแกนทรงกระบอกพินิจ ซึ่งปรับในรูปแบบจำนวนจุดภาพมาตรฐานของแท่งความถี่ภาพสำคัญของแผนภูมิแท่งความถี่ภาพในสิ่งแวดล้อม 4DH สอดคล้องกับเงื่อนไขลิปสชิตซ์และวีลเดอร์ และจำนวนจุดภาพมาตรฐานของแท่งความถี่ภาพสำคัญ ไวยางของชุดแผนภูมิแท่งความถี่ภาพในสิ่งแวดล้อม 5DH

การทดลองและทดสอบพิจารณาด้วยระดับความเข้มแสงด้วยระดับคลาสีหรือระดับอ่อนสี การกำหนดแท่งความถี่ภาพสำคัญ ไวยางของแผนภูมิแท่งความถี่ภาพของแบบจำลองทรงกระบอก 3D สามารถแสดงฟังก์ชันความหนาแน่นความน่าจะเป็น และฟังก์ชันความหนาแน่นสะสมของภาพที่พิจารณาซึ่งรวมวัตถุเคลื่อนที่ เช่น ระบบต่าง ๆ และท่อทรงกระบอก เป็นต้น

การอ้างถึงมุกพินิจของแบบจำลองทรงกระบอก 3D ค่าจริง แบบจำลอง 5DH สามารถรองรับแท่งความถี่ภาพสำคัญ ไวยางของแผนภูมิแท่งความถี่ภาพสำคัญรับวัตถุเคลื่อนที่และความไวและค่าจริงที่ปรากฏ สามารถรักษาสิ่งแวดล้อม 3D

### 2. ผลเปรียบเทียบแผนภูมิแท่งความถี่ภาพสี

ภาพสีสำหรับชุดสีปฐมภูมิ XYZ หรือ XYZ จากตัวอย่างการแปลง RGB สามารถแสดงด้วย  $x$ ,  $y$  และ  $z$  ประกอบกับแผนภูมิแท่งความถี่ภาพสีสมนัยตามลำดับ ดังนี้จุดภาพสีจำนวนต่าง ๆ ของ  $r$ ,  $g$  และ  $b$  ใน XYZ จึงสามารถแสดงส่วนผสมต่าง ๆ ด้วยแผนภูมิแท่งความถี่  $x$ ,  $y$  และ  $z$  ด้วยแท่งความถี่ภาพสีสมนัยหรือจุดภาพของ  $r$ ,  $g$  และ  $b$  สมนัยซึ่งสามารถคำนวณและแสดงผลอย่างชัดเจน

### 3. ผลเปรียบเทียบจำนวนความแตกต่างจุดภาพ 3 มิติ

การตรวจสอบแผนภูมิแท่งความถี่คู่ภาพซ้ายขวาซึ่งประกอบด้วย คู่ภาพระดับความเข้มแสงเดียว คู่ภาพสองระดับความเข้มแสง--คู่ภาพเนินต่ำสองระดับความเข้มแสง และคู่ภาพเนินสูงสองระดับความเข้มแสง ภาพขาวดำ--ภาพเนินต่ำขาวดำ และภาพเนินสูงขาวดำ ภาพสี--ภาพเนินต่ำสี และภาพเนินสูงสี สามารถแสดงผลสมการจำนวนความแตกต่างจุดภาพของแผนภูมิแท่งความถี่ภาพแห่ง (hidden) ของคู่ภาพซ้ายขวา และขั้นตอนการแบ่งขั้นสองเลนส์ (binocular rivalry) ของภาพชนิดต่าง ๆ แสดงให้เห็นว่าความซ้ำทางระยะ (space diversity) และความกลมกลืนคู่ภาพ (image mosaicing) [Gos05] สามารถปรับปรุง

กระบวนการและคุณภาพการประมวลผลภาพด้วยจำนวนความแตกต่างจุดภาพของคู่ภาพซ้ายขวาแก่ 3D 4DH หรือ 5DH

### ข้อเสนอแนะ

#### 1. ข้อเสนอแนะจากการวิจัยที่พับและการนำผลการวิจัยไปใช้

ผลการวิจัยที่พับแสดงการวิเคราะห์ภาพเคลื่อนไหวด้วยแผนภูมิแห่งความถี่ภาพไวางาน ในทางกลับกันผลการวิจัยสามารถนำไปใช้ ประยุกต์ใช้และเป็นแนวทางในการสังเคราะห์ภาพเคลื่อนไหวจากแผนภูมิแห่งความถี่ภาพไวางาน โดยเน้นภาพที่เกี่ยวข้องกับระดับความเข้มแสง นอกเหนือนี้การสังเคราะห์วัตถุในภาพด้วย 5DH จากแผนภูมิแห่งความถี่ภาพสมนัย สามารถช่วยศึกษาการเคลื่อนที่และความไวของวัตถุ และคู่ภาพซ้ายขวาแสดงจำนวนความแตกต่างจุดภาพแห่งของคู่ภาพของ 3D สามารถเติมเต็มทักษะวิธีบิดลดชนพัฒนาผลิตภัณฑ์ที่เกี่ยวข้อง

#### 2. ข้อเสนอแนะในการวิจัยครั้งต่อไป

งานวิจัยอนาคตมุ่งเน้นรายละเอียดในเท่งความถี่ภาพสำคัญขึ้นสูงของแผนภูมิแห่งความถี่ภาพในแบบจำลอง 5DH หรือ  $n$ DH สำหรับความเป็นกลุ่มภาพหรือความกลมกลืนคู่ภาพในมิติต่าง ๆ รวมถึงการมุ่งเน้นการแข่งสองเลนส์สมบูรณ์สำหรับการเคลื่อนที่อย่างเร็ว และการแข่งขัน  $n$  เลนส์ในสิ่งแวดล้อมเสมือนจริง

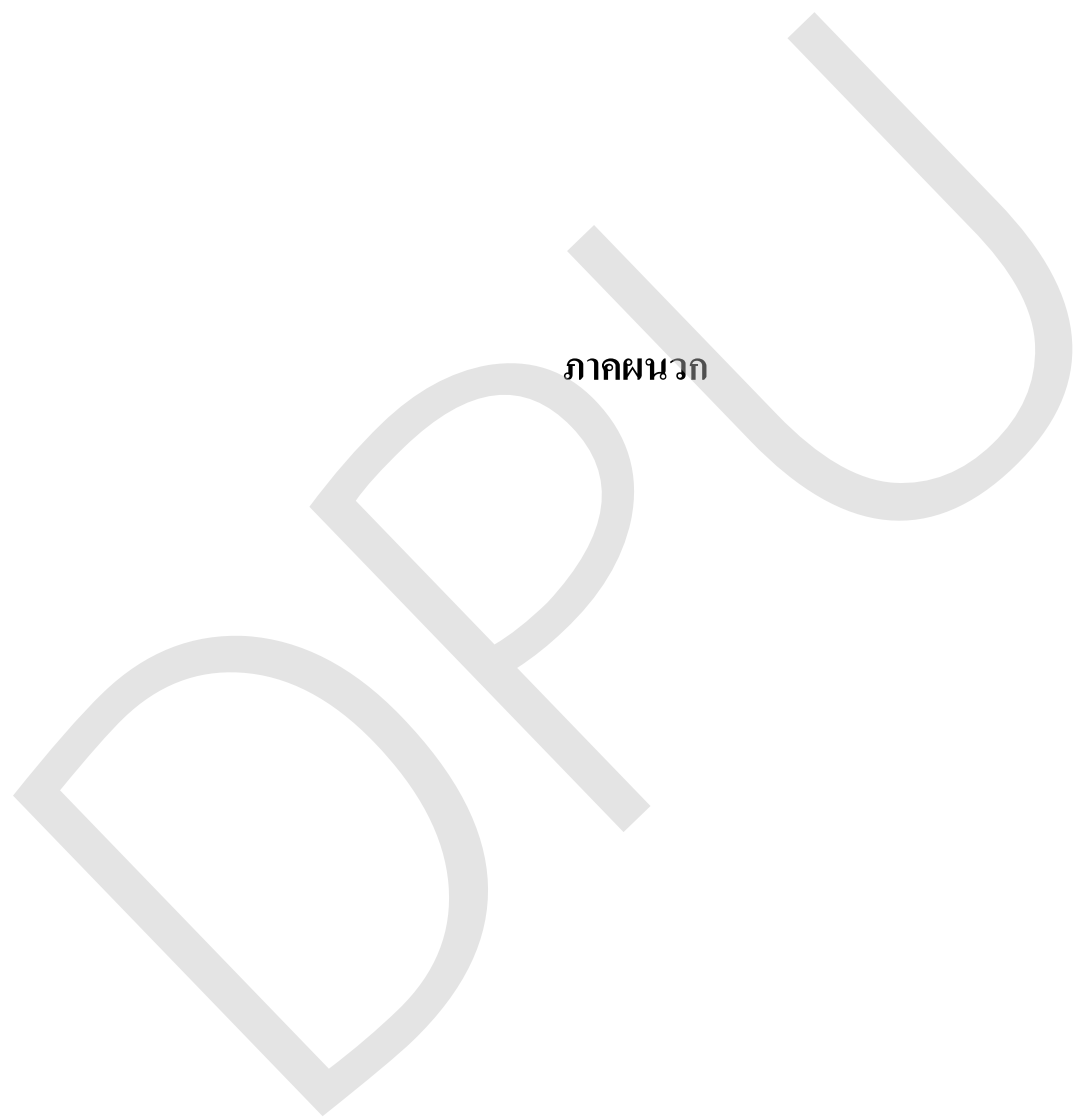
## บรรณานุกรม

- [1] บงการ หอมนาน. (2552). “การปรับความสว่างแบบปรับตัวโดยใช้หน้าต่างเลื่อนฐาน  $\beta$  ของ อิสโตรแกรมสำหรับภาพเคลื่อนไหว” **การประชุมวิชาการการบริหารและการจัดการ**. ครั้งที่ 5. มชบ.
- [2] University of California, Davis. **L<sup>p</sup> Space**. (2014).  
[Online]. Available : [https://www.math.ucdavis.edu/~hunter/measure\\_theory](https://www.math.ucdavis.edu/~hunter/measure_theory). (April 10, 2014)
- [3] Smith, John R. (1997). **Integrated Spatial and Feature Image Systems: Retrieval, Analysis and Compression**. Ph.D. Dissertation, Graduate School of Arts and Sciences, Columbia University.
- [4] Rohlin, Vladimir A. (1964). “Exact Endomorphisms of a Lebesgue Space” **American Mathematical Society Translations**. 39 : 1 -36.
- [5] Novak, Carol L. and Shafer, Steven A. (1992). “Anatomy of a Color Histogram” **IEEE CVPR**. 599 - 605.
- [6] Bashkov, Evgeniy A. and Shozda, Natalya S. (2002). “Content-Based Image Retrieval Using Color Histogram Correlation” **Graphiccon proceedings**. 458 - 461.
- [7] Suhasini, Smt P. S. Krishna, Sri Rama K. and Krishna IV, Murali. (2009). “CBIR Using Color Histogram Processing” **Journal of Theoretical and Applied Information Technology**. 6 (1) : 116-122.
- [8] Wikipedia. (2014). **Image Histogram**.  
[Online]. Available : [http://en.wikipedia.org/wiki/Image\\_histogram](http://en.wikipedia.org/wiki/Image_histogram). (April 10, 2014)
- [9] Wikipedia. (2014). **L<sup>p</sup> Space**.  
[Online]. Available : [http://en.wikipedia.org/wiki/Lp\\_space](http://en.wikipedia.org/wiki/Lp_space). (April 10, 2014)
- [10] Plataniotis, Konstantinos and Venetsanopoulos, Anastasios N. (2000). **Color Image Processing and Applications**. Springer : Canada.
- [11] Homnan, Bongkarn and Benjapolakul, Watit. (2013). “Intermediate Inverse Image Histogram”

- IEEE CSE. **16th ICESS Symposium.** 675 - 679.
- [12] Wang, Xiang-Y. Wu, Jun-F. and Yang, Hong-Y. (2010). "Robust Image Retrieval based on Color Histogram of Local Feature Regions" **Multimed Tools Appl.** 49 : 323-345.
- [13] Wikipedia. (2014). **HSL and HSV.**  
 [Online]. Available : [http://en.wikipedia.org/wiki/HSL\\_and\\_HSV](http://en.wikipedia.org/wiki/HSL_and_HSV). (July 10, 2014)
- [14] Wikipedia. (2014). **CIE 1931.**  
 [Online]. Available : [http://en.wikipedia.org/wiki/CIE\\_1931\\_color\\_space](http://en.wikipedia.org/wiki/CIE_1931_color_space). (April 10, 2014)
- [15] Lee, Hsien-C. (2005). **Introduction to Color Imaging Science.** Cambridge : Singapore.
- [16] Epicedits. (2013). **Image Histogram.**  
 [Online]. Available : <http://blog.epicedits.com/2007/04/14/working-with-image-histograms/>
- [17] Rathinam, Vinoth. et al. (2013). "Characterization of Color and Texture Features from Retrieved Images using CBIR" **International Journal of Research in Advent Technology.** 1 (5) : 61-67.
- [18] Rockmore, Daniel N. and Healy, Dennis M. Jr. (2003). **Modern Signal Processing.** Cambridge: New York.
- [19] Li, Beita. Chang, Edward and Wu, Yi. (2003). Discovery of A Perceptual Distance Function for Measuring Image Similarity. **Multimedia Systems.** 8 : 512-522.
- [20] Odin David, (2008). **Examples of 3D Sources.**  
 [Online]. Available : <http://dindinx.net/OpenGL/index.php>. (January 28, 2014)
- [21] Shapiro, Linda G. and Stockman, George. C. (2003). **Computer Vision.** Prentice Hall : Singapore.
- [22] Wikipedia. (2014). **Euclidean Distance.**  
 [Online]. Available : [http://en.wikipedia.org/wiki/Euclidean\\_distance](http://en.wikipedia.org/wiki/Euclidean_distance). (July 10, 2014)
- [23] Wikipedia. (2014). **Minkowski Distance.**  
 [Online]. Available : [http://en.wikipedia.org/wiki/Minkowski\\_distance](http://en.wikipedia.org/wiki/Minkowski_distance) (April 10, 2014)
- [24] Mitrea, Marius and Taylor, Michael. (2001). **Potential Theory on Lipschitz Domains in Riemannian Manifolds:  $L^p$ , Hardy, and Hölder Space Results.** Grant Research, Department of Mathematics, University of Missouri Columbia and Department of Mathematics, University of North Carolina.
- [25] Wikipedia. (2014). **Lipschitz Continuity.**

- [Online]. Available : [http://en.wikipedia.org/wiki/Lipschitz\\_continuity](http://en.wikipedia.org/wiki/Lipschitz_continuity) (April 10, 2014)
- [26] Wikipedia. (2014). **Hölder Conditions.**  
[Online]. Available : [http://en.wikipedia.org/wiki/H%C3%B6lder\\_condition](http://en.wikipedia.org/wiki/H%C3%B6lder_condition). (April 10, 2014)
- [27] Miller James. (2006). **Homeomorphism.**  
[Online]. Available : <http://www.solitaryroad.com/c775.html>. (January 28, 2014)  
/invisiblehandshake. (July 10, 2014)
- [28] Kurhe, Ajay B. Satonka, Suhas S. and Khanale Prakash B. “Color Matching of Image by using Minkowski-Form Distance” **Global Journal of Computer Science & Technology**, 11 (5) : 86 89.
- [29] Faugeras, Olivier and Luong, Quang-T. (2001). **The Geometry of Multiple Images**. MIT Press : Cambridge.
- [30] Lueder, Ernst. (2012). **3D Displays**. John Wiley & Sons : London.
- [31] University of Regina. (2012). **Matrix Transformation**.  
[Online]. Available : <http://www.cs.uregina.ca/Links/class-info/405/WWW/Lab3> (July 10, 2014)
- [32] Department of Psychology: Perception Lecture Notes. New York University. (2013). **Stereo Vision.**  
[Online]. Available : <https://www.cns.nyu.edu/david/course/perception/depth/depth-size-10-14-2006.htm> (July 10, 2014)
- [33] บงการ หอมนาน. (2552). “การตรวจจับขอบภาพเคลื่อนที่โดยใช้อัลกอริทึม ‘ไฮบริด’” **วารสาร สุนทรียศึกษา**. 23 (71) : 133 - 146.
- [34] Homnan, Bongkarn and Benjapolakul, Watit. (2012). “Histogram Equalization based on Cumulative Density Function, Linear Function, and Pixel Position Schemes for Still Image” **IEEE ICSET**. 1 - 7.
- [35] Goshtasby, A. Ardeshir. (2005). **2-D and 3-D Image Registration: for Medical, Remote Sensing and Industrial Applications**. John Wiley & Sons : Singapore.
- [36] Homnan, Bongkarn and Benjapolakul, Watit. (2014). “Cluster Classification Characteristics of the Critical Principal Image Histogram Component” **iEECON**. IEEE Xplore.
- [37] Macalester College. (2014). **Negative Curvature**.

- [Online]. Available : <http://www.macalester.edu/academics/mscs/multimedia/>
- [38] James Glyn. (2004). **Advanced Modern Engineering Mathematics**, 3rd ed, Pearson-Prentice Hall : Singapore.
- [39] Wikipedia. (2014). **International Commission on Illumination**.  
[Online]. Available : [http://en.wikipedia.org/wiki/International\\_Commission\\_on\\_Illumination](http://en.wikipedia.org/wiki/International_Commission_on_Illumination) (September 15, 2014)
- [40] Wikipedia. (2014). **International Commission on Illumination 2000**.  
[Online]. Available : <http://www.cie.co.at> (September 15, 2014)
- [41] Wikipedia. (2014). **Histogram Equalization**.  
[Online]. Available : [http://en.wikipedia.org/wiki/Histogram\\_equalization](http://en.wikipedia.org/wiki/Histogram_equalization) (October 10, 2014)
- [42] Cazelais, G. (2011). **Perimeter of An Ellipse**.  
[Online]. Available : <http://docstoc.com/docs/71729675/Perimeter-of-an-ellipse>. (April 10, 2014)
- [43] Kreysig, Erwin. (1999). **Advanced Engineering Mathematics**, 8th ed, Wiley-Interscience : Singapore.
- [44] Wikipedia. (2014). **Ellipse**.  
[Online]. Available : <http://en.wikipedia.org/wiki/Ellipse>. (October 10, 2014)



## ภาคผนวก ก

### กรณีศึกษาการปรับเท่าและแผนภูมิแท่งความถี่ภาพ

#### ตัวอย่างที่ ก.1

กรณี  $F(l) = \mu = kl$  [34] จาก (2.5) และ (2.4) สามารถแสดงผล  $f(l)$  และ  $H(f(l))$  ตามลำดับด้วยสมการ

$$f(l) = \frac{dF(l)}{dl} = \frac{dkl}{dl} = k = \frac{\mu}{l} = \frac{1}{l_{max}} \quad (\text{ก.1})$$

และ

$$H(f(l)) = \int_l^{\infty} f dl = \int_{l=0}^{\infty} \frac{\mu}{l} dl = \frac{l}{l_{max}} \quad (\text{ก.2})$$

โดยที่

$k$  กือค่าคงที่

#### ตัวอย่างที่ ก.2

ด้วยการปรับเท่าฐานแผนภูมิแท่งความถี่ของภาพด้านบน  $I$  ในสมการที่ (2.1) ความถี่ของระดับความเข้มแสง  $f_l$  ของแผนภูมิแท่งความถี่ภาพจึงสามารถแสดงด้วยสมการ

$$f_l = n_p f(l) \quad (\text{ก.3})$$

โดยที่

$n_p$  กือจำนวนจุดภาพ

เพื่อให้ระดับความเข้มแสงครอบคลุมช่วง  $[\max\{I\}, \min\{I\}]$  ความสัมพันธ์ของ  $I'$  และ  $I''$  จึงสามารถแสดงได้ด้วยสมการ [41]

$$I'' = I'(\max\{I\} - \min\{I\}) + \min\{I\} \quad (\text{ก.4})$$

และปกติพึงก์ชันความหนาแน่นสะสม  $F(l)$  ได้รับการกำหนดค่าในช่วงระดับความเข้มแสง  $(0, l_{max}]$  ซึ่ง (2.1) (2.4) และ (2.5) การปรับเท่าฐานแผนภูมิแท่งความถี่ใหม่  $P'(I)$  สามารถแสดงด้วยการกำหนดการวัดระดับความเข้มแสงใหม่  $I'$  ของการปรับเท่าฐานแผนภูมิแท่งความถี่ภาพใหม่ด้วยสมการ [41]

$$P'(I) = P(E(I)) \triangleq l' = \text{round} \left( \frac{n_p f(l) - F_{\min}}{n_p - F_{\min}} (l'_{\max} - l'_{\min} + 1) \right), \quad f'(l') = f(l) \quad (g.5)$$

โดยที่

$f'(l)$	คือฟังก์ชันความหนาแน่นความน่าจะเป็นใหม่
$F_{\min}$	คือความถี่สะสมต่ำสุด
$l'$	คือระดับความเข้มแสงใหม่
$l'_{\min}$	คือระดับความเข้มแสงใหม่คล้ำสุด
$l'_{\max}$	คือระดับความเข้มแสงใหม่อ่อนสุด

### ตัวอย่างที่ ก.3

การหา  $P'(I)$  ของภาพต้นฉบับ  $I$  ในตัวอย่างที่ ก.1 เมื่อแทน  $f(l)$  ใน (2.5) ด้วย  $f(l) = \frac{l}{l_{\max}}$  จาก (g.5) จึงได้ผลลัพธ์

$$\begin{aligned} P'(I) &\triangleq l' \triangleq \text{round} \left( \frac{\frac{n_p \int f(l) - F_{\min}}{n_p - F_{\min}} (l'_{\max} - l'_{\min} + 1)}{l_{\max}} \right) \\ &= \text{round} \left( \frac{\frac{n_p \frac{l}{l_{\max}} - F_{\min}}{n_p - F_{\min}} (l'_{\max} - l'_{\min} + 1)}{l_{\max}} \right), \quad F_{\min} = f(1) \approx 0 \\ &= \text{round} \left( \frac{l}{l_{\max}} (l'_{\max} - l'_{\min} + 1) \right) \end{aligned} \quad (g.6)$$

กรณีกำหนดให้ภาพใหม่  $I'$  ใช้ช่วงระดับความเข้มแสง  $l'_{\max} - l'_{\min} + 1 = l_{\max} - l_{\min}^*$  พนวณว่าผลลัพธ์ไม่มีการเปลี่ยนแปลงหรือ  $P'(I) = P(E(I)) = E(I) \triangleq l' = l$  โดยที่  $f'(l') = f(l)$ ,  $l \in [l_{\min}, l_{\max}]$  ดังนั้นเมื่อใช้แผนภูมิแท่งความถี่ภาพต่อเนื่องจึงสามารถกำหนดให้  $l'_{\max} - l'_{\min}$  และ  $l'_{\max} - l'_{\min} + 1$  ผลลัพธ์ใหม่

$$P'(I) \triangleq l' = \text{round} \left( \frac{l'_{\max} - l'_{\min}}{l_{\max}} l \right) \quad (g.7)$$

แสดงว่า  $l'$  จะปรากฏในแผนภูมิแท่งความถี่ภาพใหม่โดยมีระยะห่างระหว่างระดับความเข้มแสง  $\frac{l'_{\max} - l'_{\min}}{l_{\max}}$  และกรณีแผนภูมิแท่งความถี่ภาพไม่ต่อเนื่อง [34]  $f(l)$  ในสมการที่ (2.5) และ (g.6) แทนด้วย  $f(l) = \frac{1}{l_{\max} - l_{\min} + 1}$  การหา  $P'(I)$  ของภาพต้นฉบับ  $I$  ในตัวอย่างที่ ก.1 จะได้ผลลัพธ์

$$\begin{aligned} P'(I) &\triangleq l' = \text{round} \left( \frac{\frac{n_p \sum f(l) - F_{\min}}{n_p - F_{\min}} (l'_{\max} - l'_{\min} + 1)}{l_{\max} - l_{\min} + 1} \right) \\ &= \text{round} \left( \frac{\frac{n_p \frac{1}{l_{\max} - l_{\min} + 1} - F_{\min}}{n_p - F_{\min}} (l'_{\max} - l'_{\min} + 1)}{l_{\max} - l_{\min} + 1} \right) \\ &= \text{round} \left( \frac{l}{l_{\max}} (l'_{\max} - l'_{\min} + 1) \right) \end{aligned} \quad (g.8)$$

$$\approx l, \quad l'_{max} = l_{max}, \quad l'_{min} = l_{min}$$

หมายเหตุ\*  $l_{min}$  คือระดับความเข้มแสงคล้ำสุด

#### ตัวอย่างที่ ก.4

การหา  $P'(I)$  ของภาพต้นฉบับ  $I$  เมื่อกำหนดให้  $f(l) = a_1 l$  [34] โดย  $a_1$  คือค่าคงที่

กรณีแพนกูมิแท่งความถี่ต่อเนื่อง อ้างอิงจาก (2.4) จะได้ผลลัพธ์

$$H(f(l)) = \int_l f dl = \int_{l=0}^l a_1 l dl = \frac{a_1}{2} l^2 \quad (\text{ก.9})$$

เนื่องจาก  $\frac{a_1}{2} l_{max}^2 = 1$  ดังนั้น  $a_1 = \frac{2}{l_{max}^2}$  และจากสมการที่ (10) และกรณีแพนกูมิแท่งความถี่ภาพต่อเนื่องกำหนดให้  $l'_{max} - l'_{min}$  หาก  $l'_{max} - l'_{min} + 1$  จะได้ผลลัพธ์

การหา  $P'(I)$  ของภาพต้นฉบับ  $I$  เมื่อกำหนดให้  $f(l) = a_1 l$  [34] โดย  $a_1$  คือค่าคงที่ กรณีแพนกูมิแท่งความถี่ต่อเนื่อง อ้างอิงจาก (2.4) จะได้ผลลัพธ์

$$H(f(l)) = \int_l f dl = \int_{l=0}^l a_1 l dl = \frac{a_1}{2} l^2 \quad (\text{ก.10})$$

เนื่องจาก  $\frac{a_1}{2} l_{max}^2 = 1$  ดังนั้น  $a_1 = \frac{2}{l_{max}^2}$  และจาก (ก.6) แพนกูมิแท่งความถี่ภาพต่อเนื่องกำหนดให้  $l'_{max} - l'_{min}$  หาก  $l'_{max} - l'_{min} + 1$  จะได้ผลลัพธ์

$$\begin{aligned} P'(I) &\triangleq l' \triangleq \text{round}\left(\frac{n_p \int f dl - F_{min}}{n_p - F_{min}} (l'_{max} - l'_{min})\right) \\ &= \text{round}\left(\frac{a_1}{2} (l'_{max} - l'_{min}) l^2\right), \quad F_{min} = f(1) \approx 0 \end{aligned} \quad (\text{ก.11})$$

แสดงว่า  $l'$  ต่าง ๆ จะปรากฏในช่วงระดับความเข้มแสงอ่อนมากกว่าในช่วงระดับความเข้มแสงคล้ำ

กรณีแพนกูมิแท่งความถี่ไม่ต่อเนื่อง อ้างอิงจาก (2.4) จะได้ผลลัพธ์

$$H(f(l)) = \int_l f dl = \int_{l=0}^l a_1 l dl = \frac{a_1}{2} l^2 \quad (\text{ก.12})$$

เนื่องจาก  $\frac{a_1}{2} l_{max}(l_{max} + 1) = 1$  ดังนั้น  $a_1 = \frac{2}{l_{max}(l_{max} + 1)}$  และจาก (ก.6) จะได้ผลลัพธ์

$$\begin{aligned} P'(I) &\triangleq l' = \text{round}\left(\frac{n_p \sum f - F_{min}}{n_p - F_{min}} (l'_{max} - l'_{min} + 1)\right) \\ &= \text{round}\left(\frac{\frac{n_p a_1}{2} l(l+1) - F_{min}}{n_p - F_{min}} (l'_{max} - l'_{min} + 1)\right) \\ &= \text{round}\left(\frac{a_1}{2} (l'_{max} - l'_{min} + 1) l(l+1)\right), \quad F_{min} = f(1) \approx 0 \end{aligned} \quad (\text{ก.13})$$

### ตัวอย่างที่ ก.5

จาก (ก.13) ในตัวอย่างที่ ก.4 การหา  $P'(I)$  ของภาพด้านลับ  $I$  เมื่อกำหนดให้สัมประสิทธิ์ของ  $(l'_{max} - l'_{min} + 1)$  คือ  $\frac{kl-k}{1-k} \geq 0.5$  และ  $\frac{kl-k}{1-k} < 0.5$

กรณีที่ 1  $\frac{kl-k}{1-k} \geq 0.5$

$$\begin{aligned} P'(I) &\triangleq l' = l = \text{round}\left(\frac{\frac{kl-k}{1-k}}{l'_{max}-1}(l'_{max} - l'_{min} + 1)\right) \\ &= \text{round}\left(\frac{\frac{l}{l'_{max}-1} - \frac{1}{l'_{max}}}{1 - \frac{1}{l'_{max}}}(l'_{max} - l'_{min} + 1)\right) \\ &= \text{round}\left(\frac{\frac{l-1}{l'_{max}-1}}{l'_{max}-1}(l'_{max} - l'_{min} + 1)\right), \\ &\text{round}\left(\frac{l-1}{l'_{max}-1}\right) \geq 0.5, \quad l \geq \frac{1}{2}(l'_{max} + 1) \end{aligned} \quad (\text{ก.14})$$

กรณีที่ 2  $\frac{kl-k}{1-k} < 0.5$

$$\begin{aligned} P'(I) &\triangleq l' = l = \text{round}\left(\frac{\frac{l-1}{l'_{max}-1}}{l'_{max}-1}(l'_{max} - l'_{min} + 1)\right) + 1, \\ &\text{round}\left(\frac{l-1}{l'_{max}-1}\right) < 0.5, \quad l < \frac{1}{2}(l'_{max} + 1) \end{aligned} \quad (\text{ก.15})$$

เมื่อรวมกรณีที่ 1 และ 2 จะได้สมการ

$$\begin{aligned} P'(I) &\triangleq l' = l = \begin{cases} \text{round}\left(\frac{\frac{l-1}{l'_{max}-1}}{l'_{max}-1}(l'_{max} - l'_{min} + 1)\right), & l \geq \frac{1}{2}(l'_{max} + 1) \\ \text{round}\left(\frac{\frac{l-1}{l'_{max}-1}}{l'_{max}-1}(l'_{max} - l'_{min} + 1)\right) + 1, & l < \frac{1}{2}(l'_{max} + 1) \end{cases} \\ &= \text{round}\left(\frac{l-1}{l'_{max}-1}(l'_{max} - l'_{min} + 1)\right) + u\left(\frac{1}{2}(l'_{max} + 1) - l\right) \end{aligned} \quad (\text{ก.16})$$

เมื่อรวมกรณีที่ 1 และ 2 จะได้สมการ

$$\begin{aligned} P'(I) &\triangleq l' = l = \begin{cases} \text{round}\left(\frac{\frac{l-1}{l'_{max}-1}}{l'_{max}-1}(l'_{max} - l'_{min} + 1)\right), & l \geq \frac{1}{2}(l'_{max} + 1) \\ \text{round}\left(\frac{\frac{l-1}{l'_{max}-1}}{l'_{max}-1}(l'_{max} - l'_{min} + 1)\right) + 1, & l < \frac{1}{2}(l'_{max} + 1) \end{cases} \\ &= \text{round}\left(\frac{l-1}{l'_{max}-1}(l'_{max} - l'_{min} + 1)\right) + u\left(\frac{1}{2}(l'_{max} + 1) - l\right) \end{aligned} \quad (\text{ก.17})$$

โดยที่

$u(\cdot)$  คือฟังก์ชันขั้นหนึ่งหน่วย

## ตัวอย่างที่ ก.6

### ชุดสีปั๊มน้ำมัน RGB และแบบรังสีแสง

ชุดสีปั๊มน้ำมัน RGB ประกอบด้วยสีปั๊มน้ำมันจำนวน 3 สี โดยสีปั๊มน้ำมันของจุดภาพแต่ละจุดแสดงคุณลักษณะของสีปั๊มน้ำมัน ได้แก่ แบบรังสีความยาวคลื่นแสงที่สะท้อนจากวัตถุทำให้สามารถมองเห็นสีต่าง ๆ ของวัตถุจากสีปั๊มน้ำมัน ได้แก่ สีปั๊มน้ำมันแดง สีปั๊มน้ำมันเขียว และสีปั๊มน้ำมันน้ำเงิน ในทางตรงกันข้ามแบบรังสีความยาวคลื่นแสงที่ไม่สามารถมองเห็นประกอบด้วยสีของแสงที่สามารถมองเห็น

ในสิ่งแวดล้อมแบบรังสีความยาวคลื่นแสงของชุดสีปั๊มน้ำมันแคบ สามารถใช้แผนภูมิแท่งความถี่ภาพสำหรับภาพที่สามารถแสดงจำนวนจุดภาพ  $n_p$  ของภาพสีที่ปั๊มน้ำมัน และภาพสีที่ถูกจัดแบ่งส่วนภาพในจำนวนที่เหมาะสมตามแบบรังสีที่ได้รับการกำหนด โดยระดับสีที่จัดอยู่ในกลุ่มสีเดียวกันสามารถปรับแผนภูมิแท่งความถี่ภาพสีด้วยพังก์ชันที่เน้นความโถงเว้ามากขึ้นเพื่อเน้นสีในกลุ่มสีเดียวกัน จากการกำหนดด้วยแบบรังสีปั๊มน้ำมันในกลุ่มสีเดียวกัน ดังนั้นแผนภูมิแท่งความถี่ภาพสีจึงเป็นแผนภูมิเชิงสถิติที่สามารถแยกแยะระดับสีที่ได้รับการกำหนดอย่างต่อเนื่อง

แผนภูมิแท่งความถี่ภาพสีมีโครงสร้างชุดสีปั๊มน้ำมันซึ่งมีอัตราส่วนสีปั๊มน้ำมันอย่างยึดหยุ่นจึงสามารถแสดงภาพสีในภาพตามชุดสีปั๊มน้ำมันได้อย่างต่อเนื่องและมีมิติจากอัตราส่วนสีปั๊มน้ำมัน เช่น ชุดสีปั๊มน้ำมัน RGB ใช้แสดงส่วนภาพสีจากอัตราส่วนสีปั๊มน้ำมัน และจากสมการที่ (ก.6) การปรับเท่าฐานแผนภูมิแท่งความถี่ภาพสีใหม่สามารถแสดงด้วยสมการ

$$P'(X) \equiv l'_X = \text{round} \left( \frac{n_p F(l'_X) - F_{\min}}{n_p - F_{\min}} (U_{\max} - U_{\min} + 1) \right), \quad f'(l'_X) = f(l_X) \quad (\text{ก.18})$$

โดยที่

$B$  คือภาพสีปั๊มน้ำมันน้ำเงิน

$G$  คือภาพสีปั๊มน้ำมันเขียว

$U_X$  คือระดับความเข้มแสงใหม่ของ  $X$

$R$  คือภาพสีปั๊มน้ำมันแดง

$X$  คือบีจัจ្រษาเข้าหลักโดยกำหนดตามรูปแบบ และ  $X \in \{R, G, B\}$

## ภาคผนวก ๘

### ชุดคำແນ່ນຳປຽບມີເລືອບເບກ

การกำหนดชุดคำແນ່ນຳປຽບມີເລືອບເບກ (Lebesgue space) ສາມາດໃຫ້ເລີ້ມຕົ້ນປຽບມີ  $p$  ຮະນຸດວັນຈຳຈຳນວນຈິງ  $p \geq 1$  ແກ່ປຽບມີ ແສດງດ້ວຍປຽບມີເລືອບເບກສູງເລີ້ມຕົ້ນປຽບມີ  $p$  ທີ່ຢູ່  $L^p$  [2] ຜຶ່ງຈັດອູ້ໃນກຸລຸມປຽບມີຮູບແບບເຊື່ອມຕ່ອງສູງປຽບມີລູກຄຣສົມມົດ (vector) ເພື່ອໃຫ້ອືບາຍປາກສູງການຟ້າທຳການການຍົກດ້ວຍຢ່າງ ປຽບມີບານາຄ (Banach space) [9]

ສາມາດໃຫ້ເລີ້ມຕົ້ນປຽບມີເລືອບເບກສູງເລີ້ມຕົ້ນປຽບມີ  $L^p$  ທີ່ຢູ່  $x$  ປາກສູງໃນຈຸດຕຳແນ່ນຳ (locus) ໃນປຽບມີ ສາມາດກຳຫຼັງດາວໂຫຼດປຽບມີເລືອບເບກສູງເລີ້ມຕົ້ນປຽບມີ  $p$  ທີ່ຢູ່  $\|x\|_p$  ແສດງດ້ວຍສົມການ

$$\|x\|_p = (\|x_1\|^p + \|x_2\|^p + \cdots + \|x_n\|^p)^{\frac{1}{p}}. \quad (\text{V.1})$$

ແລະຂາດຝຶກກໍ່ຂັ້ນໃນປຽບມີເລືອບເບກສູງເລີ້ມຕົ້ນປຽບມີ  $p$  ທີ່ຢູ່  $\|f(x)\|_p$  ຂອງປຽບມີ  $f$  ແສດງດ້ວຍສົມການ

$$\|f(x)\|_p = \left( \int_S |f(x)|^p dx \right)^{\frac{1}{p}}. \quad (\text{V.2})$$

ຝຶກກໍ່ຂັ້ນໃນປຽບມີເລືອບເບກສູງເລີ້ມຕົ້ນປຽບມີ  $p$  ຂອງ  $x$  ທີ່ຢູ່  $L^p(x)$  ສາມາດຮະບູຈຸດຕຳແນ່ນຳໃນການ ສາມາດກຳຫຼັງດ້ວຍ  $\|x\|_p$  ໂດຍກຳຫຼັງດ້ວຍ  $p \in (1, \infty)$  ໄດ້ແກ່ ຈຸດຕຳແນ່ນຳສື່ເໜື່ອມຂນມເປີກປຸນ  $\|x\|_1$  ຈຸດຕຳແນ່ນຳວັງກລມ  $\|x\|_2 \leq \sqrt{n} \|x\|_1$  ທີ່ຢູ່ຈຸດຕຳແນ່ນຳສື່ເໜື່ອມຈຸດຕຳແນ່ນຳ  $\|x\|_\infty$

ອສົມການທີ່ປ່າຍກູ້ຂ້າງຕົ້ນສອດຄລ້ອງກັບເຈື່ອນໄຂອສົມການ ໂຄງ-ຊວາຮ່າ (Cauchy-Schwarz's inequality) ນອກຈາກນີ້ ຈຸດຕຳແນ່ນຳແສດງຄວາມໂຄງເວົ້າໃນກາພສາມາດກຳຫຼັງດ້ວຍຈຸດຕຳແນ່ນຳ  $\|x\|_p$  ໂດຍ ກຳຫຼັງດ້ວຍ  $p \in (0, 1)$

ເມື່ອ  $p \in (1, \infty)$  ປຽບມີ  $L^p$  ມີຄຸນສົມບັດສົມສົມສົມສູງ (isomorphism) ກັບປຽບມີ  $L^{p=1}$  ດ້ວຍເຈື່ອນໄຂ

$$\frac{1}{p} + \frac{1}{q} = 1. \quad (\text{V.3})$$

ດັ່ງນັ້ນຈຶ່ງສາມາດແສດງຝຶກກໍ່ຂັ້ນ  $g(x) \in L^q(x)$  ຜຶ່ງສອດຄລ້ອງກັບເຈື່ອນໄຂ

$$K_p(g(x)) \in L^p(x)^*. \quad (\text{V.4})$$

ໄດ້ຍື່ງ

$K_p(\cdot)$ . ອີ່ຈຶ່ງສຶກສົ່ງຈັບຄູ່ໃຈສິ້ນຂອງອສົມການເຊື່ອດ້ວຍຈາກ  $L^q(x)$  ໄປຢັ້ງ  $L^p(x)^*$

ยกตัวอย่าง  $K_1$  แสดงคุณสมบัติสมสัมฐานในปรกนิบานาคจาก  $L^\infty(x)$  ไปทั่ว

$$K_1(g(x) \in L^\infty(x)) \in L^1(x)^*$$

$$K_p(g(x)) \in L^p(x)^*. \quad (\text{ข.3})$$

### ตัวอย่างที่ ข.1

จะแสดงตัวอย่างสมการชุดคำແນ່ງໃນภาพທີ່ສ້າງຈາກເຮື່ອມຕ່ອເສັ້ນຕຽບຮະລຳທີ່ມີບາດຕ່າງໆ ປະກອບກັນ ແລະເລີ້ມຕິດຕິກຳລັງປຽບມີ  $p$  ຮະບູດ້ວຍຄໍາຈຳນວນຈິງ  $p \geq 1$

ชຸດຕຳແນ່ງຮູບສີ່ເຫັນຂນມເປີຍກຸ່ມກຳນົດໃຫ້  $p = 1.0$  ແລະ ชຸດຕຳແນ່ງຮູບສີ່ເຫັນຈຸຮັສ ກຳນົດໃຫ້  $p = \infty$

หมายเหตຸ ชຸດຕຳແນ່ງຮູບພົມເຂົ້າໄກລົງກລມໃຫ້  $p = 2.0$  ຕ້າວຍ່າງ ชຸດຕຳແນ່ງຮູບພົມເຂົ້າໄກລົງກລມໃຫ້  $p = 2\sqrt{2}$  ຕ້າວຍ່າງ ชຸດຕຳແນ່ງຮູບພົມເຂົ້າໄກລົງສີ່ເຫັນໃຫ້  $p = 8.0$

## ภาคผนวก ค

### เส้นรอบวงของวงรี

สมการวงรีโดยทั่วไป แสดงด้วยสมการ

$$\frac{x^2}{a_s^2} + \frac{y^2}{b_s^2} = 1 \quad (\text{ค.1})$$

โดยที่

- $\varphi$ . คือมุมเรเดียน โดย  $0 \leq \varphi \leq 2\pi$
- $a_s$ . คือมุกครึ่งแกนหลัก โดย  $a_s = \frac{x}{\cos \varphi}$  และ
- $b_s$ . คือมุกครึ่งแกนหลัก โดย  $b_s = \frac{y}{\sin \varphi}$

เส้นรอบวง  $p$  วงรี [42] [43] สามารถแสดงด้วยสมการ

$$p = 4a_s \int_0^{\frac{\pi}{2}} \sqrt{1 - (\epsilon \cos \varphi)^2} d\varphi. \quad (\text{ค.2})$$

โดยที่

$$\epsilon. \quad \text{คือความเอียง โดย } \epsilon = \sqrt{1 - \frac{b_s^2}{a_s^2}}$$

เนื่องจาก  $0 \leq (\epsilon \cos \varphi)^2 < 1$  จึงสามารถแสดงเส้นรอบวง  $p$  วงรีใน (ค.2) ด้วยสูตรทวินาม

$$(1+x)^k, \quad -1 < x < 1$$

$$(1+x)^k = 1 + kx + \frac{k(k-1)}{2!}x^2 + \frac{k(k-1)(k-2)}{3!}x^3 + \dots \quad (\text{ค.3})$$

โดยที่

เมื่อกำหนด  $k = \frac{1}{2}$  และ  $x = -(\epsilon \cos \varphi)^2$  จึงสามารถแสดง  $\sqrt{1 - (\epsilon \cos \varphi)^2}$  ด้วยสมการ

$$\sqrt{1 - (\epsilon \cos \varphi)^2} = 1 - \frac{(\epsilon \cos \varphi)^2}{2} - \sum_{n=2}^{\infty} \frac{1 \cdot 3 \cdot 5 \cdots (2n-3)(\epsilon \cos \varphi)^{2n}}{2^n n!} + \dots \quad (\text{ค.4})$$

โดยการแทน (ค.4) ใน (ค.2) เส้นรอบวง  $p$  จึงแสดงด้วยสมการ

$$p = 4a_s \int_0^{\frac{\pi}{2}} 1 - \frac{(\epsilon \cos \varphi)^2}{2} d\varphi - 4a_s \int_0^{\frac{\pi}{2}} \sum_{n=2}^{\infty} \frac{1 \cdot 3 \cdot 5 \cdots (2n-3)(\epsilon \cos \varphi)^{2n}}{2^n n!} d\varphi. \quad (\text{ค.5})$$

ปริพันธ์โคไซน์ (cosine integral) ใน (ค.5) สองคล้องกับสูตรรวมล์ (Walls' formula)

$\int_0^{\frac{\pi}{2}} (\cos \varphi)^{2n} d\varphi$  แสดงด้วยสมการ

$$\int_0^{\frac{\pi}{2}} (\cos \varphi)^{2n} d\varphi = \frac{1}{2} \cdot \frac{3}{4} \cdot \frac{5}{6} \cdots \frac{2n-1}{2n} \cdot \frac{\pi}{2} = \frac{1 \cdot 3 \cdot 5 \cdots (2n-1)}{2^n n!} \cdot \frac{\pi}{2}. \quad (\text{ค.6})$$

โดยการแทน  $\int_0^{\frac{\pi}{2}} (\cos \varphi)^{2n} d\varphi$  (ค.6) [42] [44] ใน (ค.5) เส้นรอบวง  $p$  จึงแสดงด้วยสมการ

$$p = 2\pi a_s \left( 1 - \sum_{n=1}^{\infty} \left( \frac{1 \cdot 3 \cdot 5 \cdots (2n-1)}{2 \cdot 4 \cdot 6 \cdots 2n} \right)^2 \cdot \frac{\varepsilon^{2n}}{2n-1} \right). \quad (\text{a.7})$$



## ประวัติผู้วิจัย รองศาสตราจารย์ ดร.บงการ หอมนาน

ผู้วิจัยสำเร็จการศึกษา วศ.บ. (ไฟฟ้า) วศ.ม. (ไฟฟ้าสื่อสาร) และ วศ.ด. (ไฟฟ้าสื่อสาร) (Ph.D./CU-OSAKA U.) ภาควิชาวิศวกรรมไฟฟ้า คณะวิศวกรรมศาสตร์ จامعةพัลกรัมมหาวิทยาลัย ประเทศไทย พ.ศ. 2537 2541 และ 2545 โดยอาจารย์ที่ปรึกษาคือ รองศาสตราจารย์ ดร.วิทิต เบญจพลกุล พร้อมการสนับสนุนจาก AGC Siemens MICT NECTEC และ OSAKA U./RGJ ตามลำดับ ผู้วิจัยร่วมงานโครงการ GSM บริษัท AWN กรุงเทพฯ ประเทศไทย พ.ศ. 2537 จากนั้นร่วมวิจัยในกลุ่มมหาวิทยาลัยในโครงการ IMT-2000 และ Komaki Lab. จาก Fac. Of Comm. แห่ง OSAKA U. (Japan) ในปี พ.ศ. 2545

ระหว่าง พ.ศ. 2539-ปัจจุบัน ผู้วิจัยทำงานในโครงการ GSM (Ericsson HP Motorola Nokia Siemens Sun และ TOT) และ WLAN (Cisco/AIT) ตลอดจนเข้าร่วมสัมมนาวิชาการและวิจัยในโครงการ GSM CDMA (Lucent/CAT และ HP) โดยเฉพาะเรื่อง Handover Soft handoff และ Fast handoff ซึ่งเป็นกระบวนการสำคัญในการจัดการคุณภาพของสัญญาณและคุณภาพของการบริการในโครงการ GSM และเครื่องมือที่นักวิจัยร่วมมือกับ MUA ในการดำเนินการหลักสูตรที่เกี่ยวข้องกับโครงการ GSM โครงการนี้ได้รับการสนับสนุนโดย Ericsson/SIDA (Sweden) และความร่วมมือจาก CAT COE NBTC และ RTAF ประเทศไทย

คณะวิจัยได้รับรางวัล travel grant ใน The 5th CDMA International Conference (South Korea)/CDG พ.ศ. 2543 เกี่ยวกับหัวข้อวิจัย FIS soft handoff ผู้ช่วยศาสตราจารย์ พ.ศ. 2545 เกี่ยวกับหัวข้อ IP handoff และรองศาสตราจารย์ พ.ศ. 2547 เกี่ยวกับหัวข้อวิจัย DP fast handoff ทั้งนี้ คณะวิจัยได้เขียนชม NTT DoCoMo (Japan)/CU OSAKA U. RGJ พ.ศ. 2544 ผนวกกับเขียนชม CDAC (India)/DPU พ.ศ. 2545 จากนั้น พ.ศ. 2550 คณะวิจัยได้ดำเนินการโครงการวิจัยระบบการเฝ้าระวังภาพเคลื่อนไหวในโครงการ GSM และ 4G order-handoffs รวมถึงดำเนินการโครงการวิจัยการประมวลผลภาพขั้นสูง (MATLAB/DPU-CU) โดยร่วมดำเนินการในการประชุมวิชาการนานาชาติ อาทิ session chair การประมวลผลภาพและวิดีโอทัศน์ใน ISCIT 2013/ECTI-IEEE CSS พ.ศ. 2556 รวมถึงได้รับทุนวิจัยจากศูนย์วิจัยในการทำวิจัยเรื่องระบบการปรับเท่าภาพสี 3 มิติไม่สัมพรอย พ.ศ. 2557 โดยร่วมเสนอผลงานวิจัยเรื่อง Active Principal Components of Image Histogram Sets for Affine and Non-Affine Aspects ใน ICACCI 2014 (India)/GCET IEEE ATH IEEE ComSoc และ IEEE SMC พ.ศ. 2557

ปัจจุบันผู้วิจัยสังกัดศูนย์วิจัย มหาวิทยาลัยธุรกิจบัณฑิตย์ และดำรงตำแหน่งรองศาสตราจารย์ประจำหลักสูตรบัณฑิตศึกษาสาขาวิศวกรรมคอมพิวเตอร์และโทรคมนาคม